

## 鋼材의 脆性破壞에 對하여

嚴 東 錫\*

### 1. 緒 言

熔接技術의 놀라운 進步와 더부리 生產部門에 있어 熔接接手는 단지 機械的인 結合이 아니고 治金學의으로 完全히 母材와 一致하게 되므로 應力集中에 敏感하여 強度上: 材料의 選擇은 勿論 工作, 設計上에 있어 서도 充分히 留意할 必要가 있다. 熔接構造物의 脆性破壞에 對한 研究는 第二次大戰(1941~1945)中에 美國에서 戰時標準船으로서 EC2型 貨物船(Liberty 船), T-2 tanker 等 約 5,000隻의 熔接船이 建造되었으나 그 중 1/5 이 여려가지 損傷事故를 일으켰고 그 중에서도 特히 1943年 1月 16日 美國 Oregon 州 Portland에 있어 裝裝岸壁에 繫留中인 T-2 tanker Schenectady 號가 船體 中央에서 꼭 두개로 破斷된 事故 等은 有名하다.

船舶以外의 熔接構造物의 脆性破壞에 依한 事故例는 독일의 Z00橋가 使用開始 6個月後인 1936年 겨울 25 mm 程度의 crack 가 flange 와 web 의 fillet welding 한 곳에 發生한 것을 비롯하여 1938年 벨기의 Hasselt 橋梁, 영국의 Fawby 의 石油 tank 等의 事故 等을 들 수 있다.

最近에는 船舶의 大型化에 따른 厚板의 경유에 있어 시의 問題, 高張力鋼인 경우의 問題, 液化 gas 利用의 擴大 等에 따른 低溫用 鋼材인 경우의 問題 및 이를 材料들의 熔接問題等 세로운 여러 問題들이 생기고 있다.

한편 이와 같은 脆性破壞(切缺脆性)에 依한 損傷事故는 船舶 및 熔接構造物에 特有한 것은 勿論 아니고 以前부터 여려가지 鋼構造物에서는 나타났으나 其當時에는 切缺脆性에 關한 知識이 없었으므로 事實上 原因이 밝혀지지 않은 狀態로 지나고 말았던 것 같아 느껴진다.

이와 같이 鋼構造物의 脆性破壞는 熔接構造物에 限하는 것이 아니고 鋼構造物에서도 發生하나 熔接構造物 인 경우의 便이 複雑 發生頻度가 높을뿐 아니라 一旦 破壞가 發生하면 龜裂의 範圍가 넓게 傳播하여 大事故로 되는 경우가 많다. 이는 熔接部에는 熔接時의 條件에 依한 여려가지 缺陷이 생기기 쉽고 또 組織變化와 殘留應力의 影響 때문에 龜裂이 發生하기 쉬운 點과 또 構造物全體가 一體로 되어 있으므로 龜裂이 傳播되기 쉽기 때문이라 생각된다.

이와 같이 脆性破壞事故原因의 追究와 그 防止策 때문에 前記 熔接船의 脆性破壞事故를 契機로 하여 現在까지 大端히 많은 研究가 行하여지고 있다.

다음으로 脆性破壞 研究에 對한 歷史를 簡單히 살펴보기로 하자.

比較的 初期에 明確히 밝혀진 事實로는 鋼板에 예리한 切缺(notch)을 가질 때 延性破壞에서 脆性破壞로 移行되는 溫度 所謂 遷移溫度가 현저하게 上昇하여, 常溫程度以上에 達하는 경우도 있다는 것과 또 切缺脆性的 現象이 明確해지고 또 이 切欠胞性에 影響을 주는 諸因子 即 設計, 工作, 材質 等에 對하여 研究가 行하여졌으며 普通引張試驗에서 充分한 強度와 延性를 가지는 材料가 低應力에서 脆性破壞를 일으킨 原因을 確認키 위해 切缺을 가지는 板狀試驗片의 幅을 例를 들면 3"로부터 108"範圍로 바꾸워가며 試驗을 行하고 板두께가

\* 正會員：釜山大學校 工科大學

크게 될수록 強度가 低下하는 傾向이 있음을 알아 내었으며, 또 實船의 破面에 가까운 破面을 實驗室에서 再現 하였으나[1] 이 경우의 強度低下는 겨우 降伏點程度이고 前記와 같이 實船의 推定應力  $7 \text{ kg/mm}^2$  인 때 破壞가 일어난 事實에 對해서는 그 當時 아직 說明할 수 없었다.

한편, 材料의 切缺感受度를 判定하기 위해서 從來 使用되고 있던 Charpy 試驗 外에 어리가지 型式의 小型試驗片을 使用하는 試驗法이 開發되어 鋼材間의 優劣의 判定에는 便利하게 使用되고 있으나 이들 試驗에 依한 結果와 實際 構造物의 脆性破壞와의 關連은 아직까지 充分한 結果가 끝된다.

其後 Robertson 은 所謂 Robertson Test[2]를 開發하여 一旦 發生한 脆性龜裂은 比較的低溫, 極히 低應力(例;  $5\sim6 \text{ kg/mm}^2$ )인 領域에서 傳播됨을 시사하였다. 其後 ESSO 試驗 (SOD 試驗)[3] 二重引張試驗[4] 等의 開發로 船舶 其他 焊接構造物等에 있어 低應力 領域에서 龜裂이 進展하여 事故를 墓 狀況을 比較的 잘 說明 할 수 있겠음 되었다.

그러나 이들 試驗法은 龜裂의 傳播特性을 調査하기 위해서이고, 龜裂을 發生시킴에는 龜裂發生部에 衝擊力, 또는 이 部分에만 高應力を 주는 等의 方法을 使用하므로 龜裂發生의 狀況은 實際構造物인 경우와 얼마나 差異가 있다. 이와 같은 方法을 使用하지 않고 脆性破壞를 發生시키려면 예리한 切缺을 가지는 경우에는 普通 降伏點程度 以上의 高應力이 必要하고, 또 이것 以下로 強度를 低下시키려면, 大端히 큰 龜裂(例; 10 cm 以上)이 必要하나 實際構造物은 이와 같은 큰 龜裂 또는 높은 外應力 없이 脆性破壞가 생기므로 焊接構造物의 低應力破壞를 完全히 說明할 수 없었다.

其後 Well[5], Kihara 및 Masubuchi[6] 等은 切缺과 焊接殘留應力이 共存하는 경우는  $3\sim7 \text{ kg/mm}^2$  程度의 極히 낮은 外應力を 加하는 것만으로 完全한 脆性破斷을 일으킬 수 있음을 實驗에 依하여 提示하였으며 焊接構造物의 低應力脆性破壞現象을 처음으로 試驗室에서 再現하였다.

其後 不斷한 研究結果 焊接殘留應力外에 構造上의 不連續[7], 工作上의 原因, 例를 들면 焊接接手의 角變形[8] 等 條件에 따라서는 脆性破壞發生의 原因으로 됨이 發表되었다.

以上 主로 實用的 대지 工學的立場에서의 研究에 對하여 記述하였으나 한편 破壞의 機構을 微視的 또는 轉位論的으로 解明하려고 하는 研究도 일어나고 있으며 여러가지 破壞機構의 model이 提案되고 있다.

## 2. 破壞의 種類

破壞의 種類(型式)에는 大別하여 結晶粒內部를 貫通하여 破壞가 進行하는 粒內破壞(貫粒型破壞 transcrystalline fracture)와 結晶粒과 結晶粒과의 境界를 따라 破壞가 進行하는 粒界破壞(intercrystalline fracture)의 두 種類로 나눌 수 있다.

普通 金屬의 破壞는 粒內破壞이며 粒界型破壞는 特別한 경우라 이야기 할 수 있다. 即 金屬이 高溫에서 長時間負荷될 경우, 應力腐蝕에 依한 경우 等이 粒界破壞를 이어가는 例로서 알려져 있다.

다음으로 粒內破壞에 對하여 記述코자 한다. 鋼構造物 等에서 問題로 되는 것은 主로 이런 種類의 破壞로

### 粒內破壞의 分類

分類의 觀點	粒內破壞의 種類		
結晶學的(crystallographic mode)	剪 斷 型 (shear)	劈 開 型 (cleavage)	
破壞의 外觀(appearance of fracture)	纖 維 狀 (fibrous)	結 晶 狀 (granular)	
破壞까지의 異量(strain to fracture)	延 性 (ductile)	脆 性 (brittle)	

서 粒內破壞中에서 여러 가지 破壞型式이 있어 使用하는 사람에 따라 用語도 틀리므로 Gensmer[9]의 分類는 이런 混亂을 整理하는 意味에서 有益하다고 생각한다.

但 이 表에서 剪斷型과 纖維狀과 延性破壞가 恒常 對應하고 또 剪開型과 結晶狀과 脆性破壞가 對應하는 意味는 아니다.

特히 破壞까지의 重量에 依한 分類인 脆性破壞와 延性破壞는 다른 두 種類의 分類와는 對應하지 않을 때가 많다. 所謂 ductile cleavage fracture도 있음을 留意하기 바란다.

剪斷型破壞와 剪開型破壞와의 區別은 定義上 明瞭하다. 剪斷型破壞란 結晶格子의 slip面(鐵인 경우는 {110} {112} 및 {123})에 따라 이어나는 破壞이고 剪開破壞는 剪開面(鐵인 경우는 {100})에 따라 이어나는 破壞이다.

軟鋼丸棒의 引張試驗에 나타나는 所謂 cup and cone型의 破壞에 있어 周邊의 cone部는 shear fracture, 中心部는 fibrous fracture라 從來부터 불려지고[10] 있다.

### 3. 軟鋼熔接構造物의 脆性破壞 特徵

熔接船 等의 損傷事故를 調査한 結果 이들 破壞에 있어 特徵으로서 다음과 같은 點들이 明確하여졌다[11].

- 冬季와 같이 溫度가 낮을 때에 發生하기 쉽다.
- 破壞는 熔接缺陷, gas 切斷된 가장자리, 構造上의 不連續部 및 治金學的, 構造上 切缺作用을 가지는 部分 부터 發生하는 일이 많다.
- 破面은 大部分 板表面에 對하여 垂直이고, 外觀은 結晶狀(crystalline)을 가지며 斷面收縮率은 極히 작다.
- 破面들 中 表面에 가까운 層에는 剪斷型破面(shear slip)가 보여진다.
- 破面에는 山脈模樣의 凸凹 (chevron pattern or herring bone pattern)이 보인다. 이를 추적함으로 破斷(壞)發生點을 推定할 수 있다.
- 龜裂의 傳播速度는 其材料中에서 音速의 敷分의 一程度로 極히 高速이다.
- 龜裂은 大端히 낮은 應力值인 곳에서도 傳播한다. 平均應力 5~7 kg/mm<sup>2</sup>인 應力인 곳에서도 傳播한다.

### 4. 鋼의 低温脆性 및 遷移溫度

普通軟鋼은 切缺(notch)이 없는 限  $-100^{\circ}\text{C} \sim -200^{\circ}\text{C}$  程度까지 冷却시키지 않는 限 脆性破壞를 일으키지 않으나 예리한 切缺이 있을 경우에는 常溫程度以上에 시도 容易하게 脆性破壞를 일으키게 한다.

丸棒引張試驗과 Charpy衝擊試驗의 結果를 比較한 一例를 Fig. 1에 나타내었다.

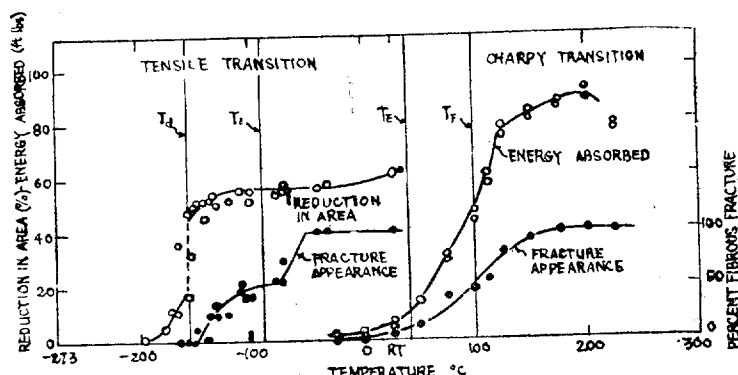


Fig. 1. 引張試驗과 Charpy衝擊試驗에 있어서 遷移溫度 C.G. Hahn et al

이와 같이 切缺을 부쳤기 때문에 脆性溫度가 上昇하는 현상을 切缺脆性이라 부른다. 實際構造物等에 있어서는 構造上, 工作上 어느 한면이 切缺作用을 가지게 된은 實際問題로 避할 수 없다고 생각됨으로 脆性破壞中 특히 이 切缺脆性問題가 重要視되고 있다. 特히 熔接構造인 경우는 밖에서 보이지 않는 곳에서나, X-Ray 檢查等에 依하여 發見되지 않는 여러가지 熔接缺陷에 基因하는 “切缺”이 存在할 可能성이 充分히 있고 또一旦破壞가 發生하면 熔接構造인 경우는 一體構造로 되어 있으므로 龜裂이 넓게 傳播되기 쉽다는 理由로서 特히 切缺脆性이 問題로 된다.

어떤 鋼材에 있어 이 切缺脆性에 基因하는 脆性破壞가 어떤 경 우에 일어나기 쉬운가를 判定하는 여러가지 試驗法이 考察되어 있다. 大部分의 것은 一定한 切缺試驗片을 여러가지 溫度에서 試驗하여 破斷까지의 吸收 energy, 斷面收縮率, 剪斷破面率等이 溫度의 低下와 더불어 急減하는 곳의 溫度를 가지고 遷移溫度(transition temperature)로 한다.

遷移溫度는 材料에 따라 變함은勿論이나 試驗片의 種類에 依해 서로 變하며 且 脆性(延性)의 尺度(energy, 塑性變形量, 剪斷破面率, 強度 等)를 무엇으로 잡느냐에 따라서 變한다. 이와 같이 遷移溫度에는 極히 種類가 많으나 本質的으로 다음 四種으로 分類할 수 있다고 생각되고 있다.

a) 延性遷移溫度(ductility transition temperature, Trd)와 破面遷移溫度(fracture transition temperature, Trf)

切缺脆性 또는 低溫脆性的 試驗法과 더불어 小型試驗片에 依한 方法과 大型試驗片에 依한 方法이 있는데 여기서 말하는 것은 延性遷移溫度 및 破面遷移溫度를 主로 小型試驗片에서 求한 것이다.

一般的으로 試驗片이 破斷할 때까지 吸收되는 energy를 溫度에 對하여 나타내어 보면 Fig. 2와 같이 溫度 低下와 더불어 減少되나 이의 減少傾向이 Fig. 2에서와 같이 2段으로 될 때가 있다.

試驗片이 破斷할 때까지의 全吸收 energy는 切缺底部에 작은 龜裂이 들어갈 때까지 吸收되는 energy와 其龜裂이 試驗片斷面全體에 擴大하기 為해서 消費되는 energy의 두 種類로 나누워진다.

前者 即 龜裂發生까지의 energy遷移에 對한 遷移溫度를 延性遷移溫度 (Trd), 後者 即 龜裂이 擴大되기 위하여 消費되는 energy에 對한 遷移溫度를 破面遷移溫度 (Trf)라 한다.

延性遷移溫度以下에서는 破面의 全斷面(肉眼的으로)이 脫開인 脆性破面으로 生覺되며 이는 energy의 變化, 斷面의 橫收縮量의 變化 等에서 求해지며 切缺의 예리한 程度에 따라 크게 영향을 받는다.

破面遷移溫度는 延性遷移溫度보다 高溫에서 나타난다. 切缺底部에 生긴 剪斷型인 龜裂은 高溫에서는 그대로 剪斷型으로서 全斷面이 破斷까지 이리나마 低溫에서 試驗을 行하면 이 破面은 途中에서 脫開型으로 變化한다. 普通破面率이

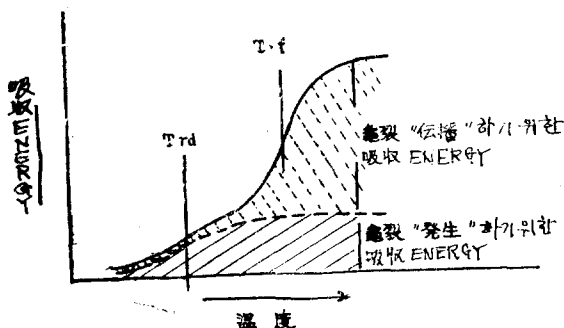


Fig. 2. 延性遷移溫度 破面遷移溫度 說明圖

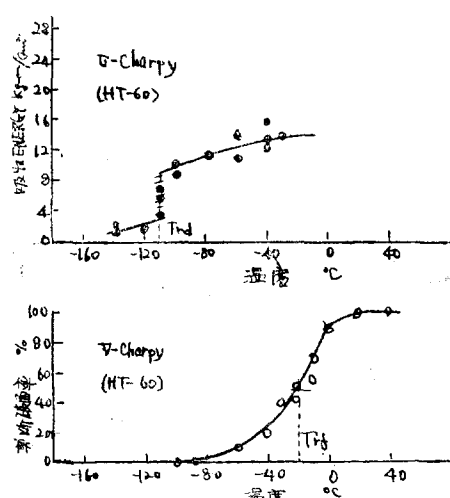


Fig. 3. 剪斷破面率 및 吸收 energy 와 温度

50%로 되는 温度로서 나타내고 있다. 이는 切欠形狀에 對한 영향은 작고 두께(厚)의 영향이 크다.

### b) 停止遷移溫度(arresting transition temperature)와 非發生溫度(non-initiating temperature)

어떤 原因에 依하여 脆性龜裂이 發生 傳播할 경우 應力狀態, 温度 等의 條件에 energy의 安定條件를 滿足 하였을 되면 龜裂은 停止한다. 어떤 一定溫度下에서 龜裂傳播가 停止하는 最大應力を 傳播限界應力이라 하며 이 應力은 溫度에 對하여 遷移現像을 나타낸다. 이 溫度를 停止遷移溫度라 하며 Robertson 試驗[2], 二重引張試驗[4] 等에서 求할 수 있다.

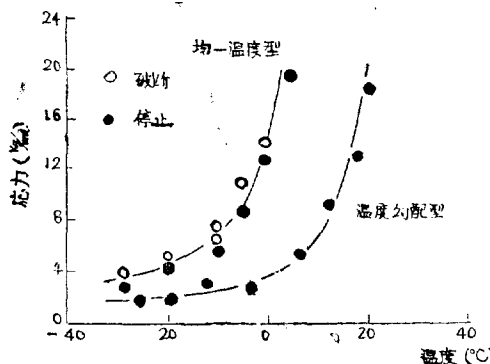


Fig. 4. 二重引張試驗結果例

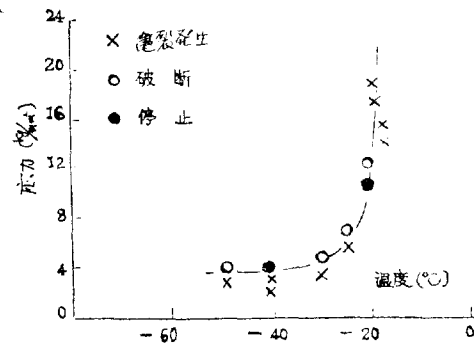


Fig. 5. ESSO 試驗(均一溫度)結果例

脆性龜裂非發生溫度는 ESSO 試驗[3] 및 均一溫度豆 行한 二重引張試驗[4] 等에 依하여 求할 수 있다. 이 경우의 實驗은 各溫度마다 여러가지 應力值로서 實驗結果의 例를 Fig. 4, 5에 나타내었다.

이면 溫度以上에서는 巨視的인 脆性龜裂의 發生은 하지 않는다. 이와 같은 溫度를 非發生溫度라 稱할 때가 있다. 이는 前述한 小型試驗片의 경우의 破面遷移溫度의 一種이라 생각된다.

## 5. 鋼材의 脆性破壞特性 및 影響을 주는 諸因子

### 5. 鋼材의 脆性破壞特性에 關하여 重要하다고 생각되는 實驗結果

#### 1) 溫度와 破壞特性과의 關係

Hahn, Averbach, Owen 및 Cohen[12][13] 等은 軟鋼丸棒(直徑 0.251''~0.252'', 平行部 길이 2'')에 對하여 室溫에서 -270°C 溫度範圍에 걸쳐 引張試驗을 行함과 더부려 처음부터 研磨를 行한 試料表面 및 破壞等의 觀察을 行하여 slip, 雙晶, crack 等의 發生과 引張降伏 및 破壞強度特性 等과 關聯하여 調査하였다. 其結果의 例를 Fig. 6, 7에 나타내었다.

이 實驗으로 부터 Fig. 7에서 보는 바와 같이 軟鋼의 破壞特性은 A~F의 領域으로 分類됨을 明確히 나타내고 있다.

領域 A; 典型的인 cup and cone 型 破壞를 이르키는

領域이고 斷面收縮은 50~60%에 達한다. necking

를 이르킨 部分의 中央에 fibrous crack가 생기고 이로부터 shear fracture가 半徑方向으로 커져 破

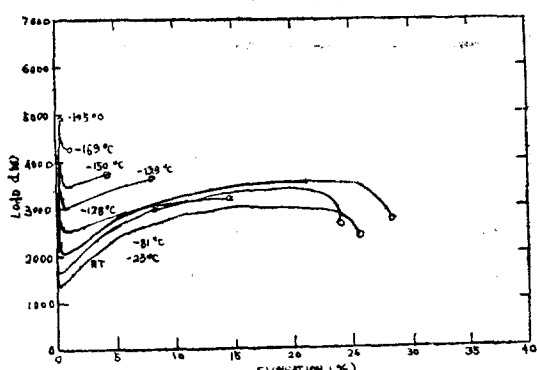


Fig. 6. 各種溫度에 있어서 荷重~伸張曲線例  
(0.22%炭素鋼 結晶粒度 ASTM NO4)  
(Hahn, Owen, Averbach, Cohen)

斷을 이르킨다.

領域 B; A 와 同樣, 처음 fibrous fracture 가 Necking 中心部에서 形成되나 이것이 脊開型破壞로서 傳播한다. 領域 C; B 와 C의 境界는 所謂 ductility transition (Trd)이고 여기서 延性 및 破壞强度가 急減한다. 또 Trd

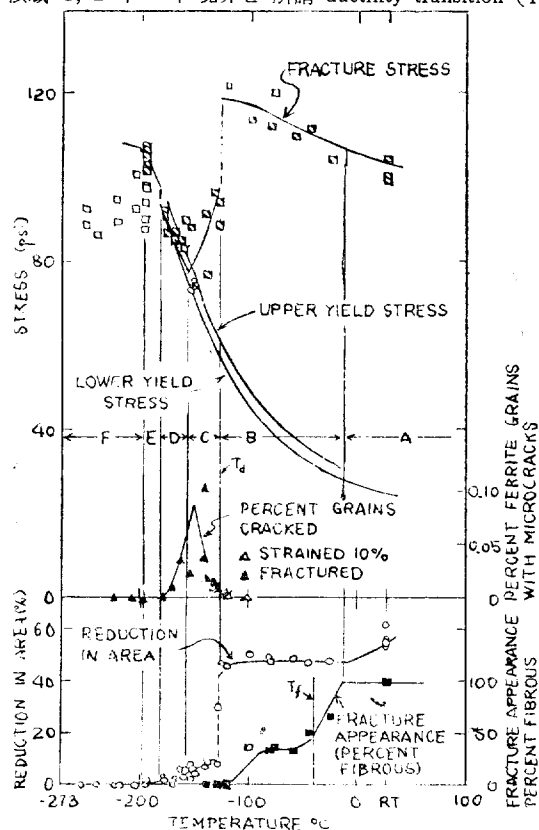


Fig. 7. Fig. 6과 같은 鋼材의 引張强度特性 破面外觀  
微視的 crack 斷面收縮率 等과 溫度의 關係 (Mahn他)

破壞를 發生 시키는 事實과 雙晶이 slip 를 일으키는 事實과 雙晶이 slip에 對한 障壁이 된다는 點 等의 可能성이 있다고 생각된다. 上記 Fig. 7의 경우는 0.22 % C인 軟鋼

의 경우이고 鋼의 種類가 틀리면 A~F 領域은多少 틀리게 된다.

以上 實驗結果를 基本으로 생각하면

- 微視的 crack 은 初期부터 試驗片內에 存在치 않고 塑性變形 過程에서 생긴다.
- C 및 D 領域에서는 破壞後에 試驗片에 일마간의 微小 crack 가 存在한다는 事實로부터, 微小 crack 가 發生하는 條件 (原子間距離의 order 인 crack 的 痕이 생겨 이것이 結晶粒의 直徑인 order 까지 成長하는 條件)과 이것이 傳播하는 條件 (成長한 微小 crack로부터 crack 가 進展하여 完全破壞에 이르는 條件)은 반드시 同一하지 않다. 即 脆性破壞는 塑性變形, 微小 crack 的 發生 (crack initiation), crack 的 傳播 (crack propagation)로 세 過程을 거쳐 생기게 된다.

以下의 溫度에서는 A 및 B 領域과 틀려 破壞는 脊開龜裂에 依하여 成長하고 破面은 100% 脊開型으로 된다. B 領域 低溫과 C 領域에서는 微視的 crack 가 觀察된다. C 領域에서는 crack 的 發生率은 低溫이 될수록 增大한다. 이 領域에서의 試驗片은 完全한 脆性이 아니고 破壞前에 降伏을 일으킨다. 領域 D; e) 領域에서는 下降伏點이고多少 不連續降伏을 받은 後 脊開破壞가 일어난다. 降伏應力은 溫度와 더부터 上昇하므로 이 領域에서는 溫度低下와 더부터 破壞强度가 上昇한다. 微視的 crack 는 Lüders-band의 先端 근방에서만 보여지고 降伏이 龜裂發生에 必要한 것임을 나타내고 있다.

領域 E; i) 領域에서는 微視的 crack 的 發生은 확인되지 못하며 또 降伏現象도 보이지 않으며 破壞는 突然히 일어난다. 破壞는 上降伏點의 外挿點 근처에서 일어난다.

領域 F; i) 領域에 있어 破壞는 上 또는 下降伏點 以下の 應力에서 일어난다. 이 破壞는 塑性變形을 全혀 隨伴치 않는 脊開型破壞라 稱하고 있다. 破壞는 雙晶을 隨伴하고 있다. 雙晶이 破壞에 對한 阻碍은 明確치 않으나 雙晶에 依한 높은 應力集中이 直接

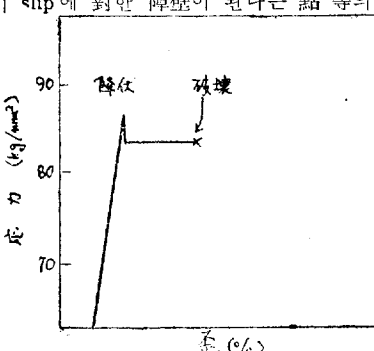


Fig. 8. 下降伏應力의 크기정도의 破壞應力으로서 降伏狀態의 途中에서의 脆性破壞

iii) B領域의 低溫에서 延性破壞를 일으킴에도 不拘하고 微小 crack가 極히 작으나마 있다는 사실로 부터 微小 crack가 發生하여도 그것만으로 하여 脆性破壞가 일어난다고 斷定할 수 없음을 알 수 있다.

## 2) 破壞의 應力條件과 破面方向

脆性破壞인 경우는 最大主應力說, 延性破壞인 경우는 最大剪斷應力說 또는 Mises說이 適用된다고 생각되고 있으나 實際에는 이들 條件에서 벗어난다고 생각될 경우도 있다. 以下 軟鋼인 경우의 脆性破壞에 對하여 생각하기로 한다.

軟鋼을 脆性破壞의 應力條件에 對하여 實驗한 것은 생각 外로 稀少하다. 以下 Yokobori, Otsuka[14]의 實驗에 對하여 記述코자 한다. 이는 여러가지 ferrite粒度를 가지는 軟鋼인 中空薄肉 圓筒試驗片에 對해서 液體空氣中에서 引張試驗 및 torsion試驗을 行한 것이다.

여기서 引張인 경우의 破壞應力(最大主應力으로 表示)를 torsion試驗인 경우의 破壞應力(最大剪斷應力으로 表示)를  $\tau/\sigma$ 라면, 만약 이 破壞가 最大主應力說에 따른다고 하면  $\tau/\sigma=1$ , 最大剪斷應力說을 따른다면  $\tau/\sigma=0.5$ , Mises說을 따른다면  $\tau/\sigma=0.577$ 로 된다.

實際實驗結果는 Fig. 9에 보는 바와 같이 結晶粒의 크기가 크게 될수록  $\tau/\sigma$ 의 比가 크게 되고  $\tau/\sigma=0.58\sim0.84$  사이에서 變化하고 있다. 即 結晶粒이 작을때는 Mises說 또는 最大剪斷應力說에 가까워 진다고 말할 수 있다. 只今 이 實驗은 化學成分을 一定히 하고 結晶粒度만을 變化시킨 實驗이나 化學成分 및 組織을 變化시킨 경우는 當然히 破壞應力 條件이 달라질 것이라 생각된다.

다음으로 破面의 方向에 對하여 考察하면 上記 薄肉圓筒 低溫 torsion試驗을 行한 試驗片의 破面은 最大主應力方向에 垂直에 가까운 螺旋面과 軸에 平行한 方向의 破面으로 이루어 졌다고 報告되고 있다[14].

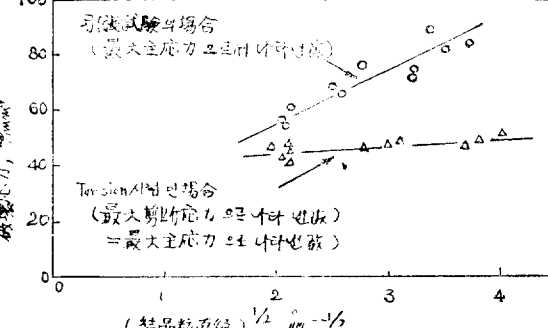


Fig. 10. 薄肉中空試驗(-196°C)에 있어서 引張破壞強度와 torsion破壞強度의 Ferrite粒度依存性의 比較(横堀, 大塚)

ferrite結晶粒의 크기와 脆開破壞強度와의 關係는 引張強度인 경우 많은 研究家에 依하여 調査되었다. 이를 簡單히 紹介하면

i) Petch[15]는 破壞應力を 다음式으로 주었다.

$$\sigma = \sigma_0 + kl^{-\frac{1}{2}} \quad \text{但 } \sigma_0, k; \text{ 常數} \quad l; \text{ 結晶粒의 直徑(mm)}$$

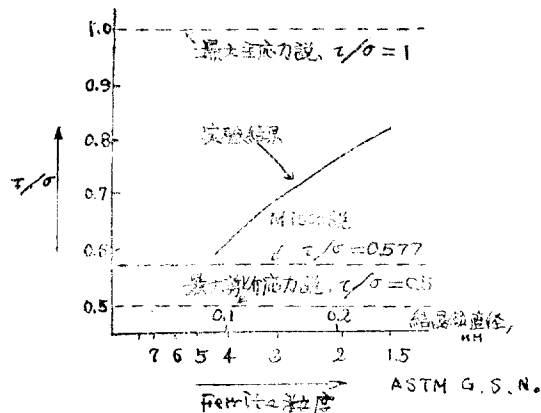


Fig. 9. 結晶粒度와 破壞時의  $\tau/\sigma$ 의 關係. 但,  $\tau/\sigma$ 의 曲線은 Fig의 實驗結果에 나타나는 直線의  $\tau$  및  $\sigma$ 의 値으로부터 求해지는 것이다

이 後者 即 軸에 平行한 破面은 最初 螺旋狀破面에 있어서 破壞가 생겼을 때 試驗機의 構造上 큰 荷重을 停止시킬 수 없어서 생긴 것이고 本質의 것 이 아니라 생각된다. 即 torsion試驗에 있어서의 破面은 大略 最大引張이 作用하고 있는 面의 方向과 一致하고 있음을 안다.

破面方向은 結晶粒度와의 關係가 없을 것 같다.

## 3) 結晶粒度와 脆性破壞強度와의 關係

ii) Low[16]는 結晶粒의 크기에 따라 다음式으로 주었다.

$$\sigma = \sigma_0 + k_1 l^{-\frac{1}{2}} \longrightarrow l \geq l_0 \quad \text{但 } \sigma_0, k_1, k_2 \text{ 定數}$$

$$\sigma = k_2 l^{-\frac{1}{2}} \longrightarrow l \leq l$$

即 粒度依存性에 左右된다.

iii) 橫堀, 大塚[14]는 前記 薄肉中空筒의 引張 및 torsion 試驗에 있어 torsion에 依한 破壞인 경우는 破壞強度의 粒度依存性은 引張인 경우에 比하여 工作을 나타내고 있다(Fig. 10 參照).

#### 4) 치수效果

glass 와 같은 完全脆性體의 破壞에 關한 Griffith의 理論[17]에 依하면 材料의 強度는 其속에 存在하는 crack 크기의 平方根에 逆比例하여 減少한다. 또 材料의 크기가 크게 되면 큰 crack 이 包含되는 確率이 增大하므로 結局 材料가 크게 될수록 強度는 低下된다고 생각된다.

이와 같이 생각하면 유리의 硬度는 微細할수록 上昇하고 理論強度에 接近함을 說明하고 있다.

또 Griffith의 破壞理論에 依하면 龜裂擴大에 必要한 work 는 龜裂擴大에 依하여 解放되는 彈性歪 energy 에 依하여 주워진다. 따라서 龜裂이 單位길이 擴大한 때의 彈性 energy 解放率이 클수록 龜裂은 傳播하기 쉽게 된다. 即 試驗片이 클수록 그속에 積蓄되어 있는 彈性 energy 가 크고 따라서 龜裂擴大에 依하여 energy 解放도 크다고 생각되므로 이와 같은 原因으로 試驗이 大型으로 되면 crack의 傳播가 일어나기 쉽고 또 脆化되기 쉽다.

따라서 龜裂擴大에 依하여 解放되는 energy 는 龜裂 근방에 있다고 생각되며 너무 떨어져 있는 곳은 關係 없다고 생각되므로 이 原因에 依한 치수 效果도 亦是 어떤 飽和點이 있다고 생각된다.

#### 5. 切缺脆性에 影響을 주는 諸因子

##### 1) 溫度의 影響

鋼은 一般的으로 어떤 溫度 以下인 低溫으로 하면 脆性破壞를 일으키게 된다. 이 現象은 定性的으로 다음과 같이 說明할 수 있다. 即 金屬의 降伏應力은 溫度低下와 더불어 急速히 上昇하며 例를 들면 液體空氣溫度에서는 常溫인 때의 2~3倍에 達한다. 그래서 脆性破壞强度는 低溫에서는 降伏點에 達하기 前에 脆性破壞에 達하여 塑性變形 없이 脆性破壞를 일으킨다고 생각되고 있다. 實際로는 이와 같이 單純치 않고 여러 段階가 있음은 前述한 바와 같다. 또 切缺이 없는 軟鋼인 丸棒引張試驗에 依한 脆化溫度는 Fig. 7에서 例示한 바와 같이  $-150^{\circ}\text{C} \sim -190^{\circ}\text{C}$  程度인 것이 普通이나 다음 以下의 項目에서 言及되는 여러 가지 影響 即 切缺에 依한 應力集中(stress concentration), 多軸應力의 影響, 歪速度의 影響, 塑性加工의 影響, 化學成分의 影響, 焊接의 影響 等이 있으며 延性脆性遷移溫度는 大端히 크게 上昇하여 常溫程度以上에 達하게 한다. 以下 各項에 對하여 說明키로 한다.

##### 2) 多軸應力 및 應力集中의 影響(切缺의 影響)

먼저 多軸應力에 對하여 記述코자 한다. Fig. 11[18]에서 보는 바와 같이 丸棒에 圓周切缺을 가지는 第一簡單한 경우를 생각해 보자. 이와 같은 試驗片이 引張을 받으면 切缺이 芯部分은 塑性變形을 일으켜 늘

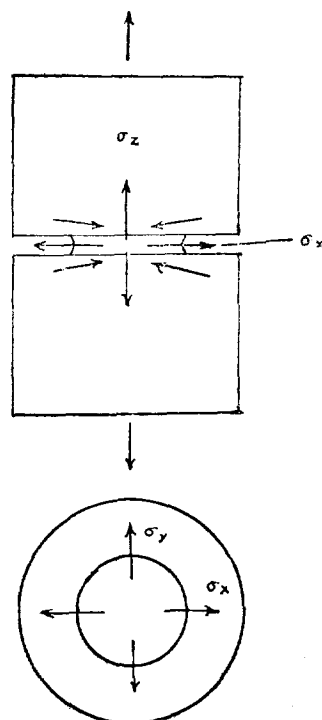


Fig. 11. 切缺에 依한 3軸應의 發生[18]

어나고 半徑方向으로는 收縮을 일으키며 한다. 그래서 이 上下端에 있어 斷面積이 큰 部分은 弹性域 그대로이고 變形量이 極히 작으므로 芯部分이 半徑方向으로 收縮하려는 것을 拘束하게 되므로 Fig. 11의  $\sigma_x$  와 같은 半徑 方向으로 芯部分에서 發生한다. 材料의 降伏條件으로서 最大剪斷應力 一定인 條件을 생각하면

$$\sigma_z - \sigma_x = Y \quad (\text{但 } \sigma_z > \sigma_x, \sigma_x = \sigma_y)$$

여기서  $Y$ 는 切缺이 없을 때의 降伏應力

$$\therefore \sigma_z = Y + \sigma_x$$

即 切缺이 있으면 降伏時 (降伏發生時, 塑性流動時)의 軸方向應力은 切缺이 없는 경우에 比하여  $\sigma_x$  만큼 높게 된다.

여기서  $\sigma_z/Y = q$  는 塑性拘束係數(plastic constraint factor)[18]라 불려지는 값으로서 切缺의 예리한 程度와 깊이 等에 依하여 決定된다. 大端히 切缺效果가 큰 경우에서 3程度인 값을 가진다.

또 切缺에 依하여 應力集中이 생기는 경우는 이 應力集中이 생기고 있는 협소한 곳만이 降伏點을 넘어도 周圍가 弹性域인 채로 남아 있을 경우는 變形이 拘束되므로 降伏 및 塑性流動을 일으키지 않고 結局 이 部分의 降伏點이 上昇하게 된다.

切缺이 있을 경우는 前記의 多軸應力의 影響外 應力集中에 依한 効果때문에 塑性變形을 일으키는 應力이 上昇하는 한편 脆性破壞는 이들의 影響을 받는 일이 極히 적다고 생각되므로 結局 切缺이 있으면 降伏應力과 脆性破壞應力가 がんば이 되어 脆化의 傾向을 나타내고 脆化하는 溫度 即 遷移溫度를 높게 한다고 생각된다. 이와 같이 切缺의 影響은一般的으로 切缺이 깊을수록, 切缺半徑이 작을수록 切缺角度가 예리할수록 크게 된다고 생각되나 이들의 影響은 飽和值가 있다고 생각된다.

한 예는 V-notch Charpy 인 경우의 data 를 Fig. 12 [14]에 나타내었다.

V-notch Charpy 에서는 切缺半徑이 0.25 mm 가 標準으로 되어 있으나 Fig. 12에 提示한 data에 依하면 0.25 mm 에서 鋼材에 따라서는 飽和值에 達하지 않는 경우도 있으며, 이와 같은 경우에는 切缺半徑의 製作誤差가 衝擊值 또는 遷移溫度의 値에 크게 影響을 주게 된다.

### 3) 歪速度의 影響

降伏點은 歪速度의  $n$  乘에 比例하여 上昇한다는 것이 알려져 있으며 歪速度의 上昇은 溫度降下와 同様으로 材料를 脆化시킨다고 생각된다. 따라서 同一形狀의 試驗片에 對하여 靜的試驗과 衝擊試驗에 依해서 遷移溫度를 求해보면 衝擊試驗인 경우의 편이 遷移溫度가 높게 된다고一般的으로豫想되나 切缺의 예리한 程度와 形狀에 依하여 逆으로 靜的試驗인 경우의 편이 높게 될 경우도 있다는 事實이 實驗的으로 알려져 있다[20].

### 4) 塑性加工 및 歪時效의 影響

冷間加工에 依한 加工硬化를 받은 材料가 脆化의 경향을 가지는 것은 容易할 것이라 상상된다. Fig. 13에서 보는 바와 같이 여러 가지 溫度에서 여러 가지 豫歪(pre-strain)를 준 경우에 있어서 遷移溫度에 미치는 影響

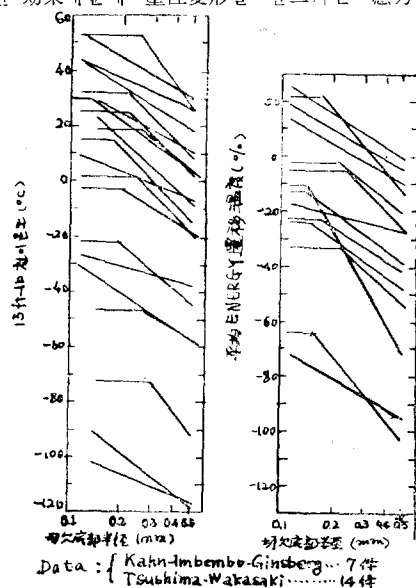


Fig. 12. V-CHARPY 試驗의 遷移溫度에 미치는 切缺 半徑의 影響[19]

은 調査한 결과이다[21]. 이에 依하면 室溫에 있어 豫歪도 有害하나 特히  $200^{\circ}\text{C} \sim 300^{\circ}\text{C}$ 의 所謂 青熱性溫度에 있어서豫歪는 特히 現지하게 有害함을 알 수 있다.

다음으로 Fig. 14, 15에 있어 歪時效에 關한 實驗結果에 對하여 살펴보기로 한다.

Fig. 14[22]는 0.24% C인 鋼에 2, 5 및 10%의 歪(strain)을 준 후 室溫에서 1個月放置하여 時效를 얻은 후 實驗을 行한結果이다. 다른 鋼材에 對해서도 大略 이와 같은 結果를 얻고 있다.

다음으로 Fig. 15[23]는 10%의豫歪를 준 後 여러 가지 溫度로서 時效 시킨 경우의 結果이나 이에 依하면一般的으로  $200^{\circ}\text{C} \sim 300^{\circ}\text{C}$ 程度에서의 時效가 第一나쁜 영향을 끼친다.

### 5) 차수效果

Fig. 13. 軟鋼에 있어 여려가지 量의 引張豫歪을 여려가지 温度로 시켰을 때 遷移溫度에 미치는 영향(寺澤 大谷 吉田 寺井)[21]

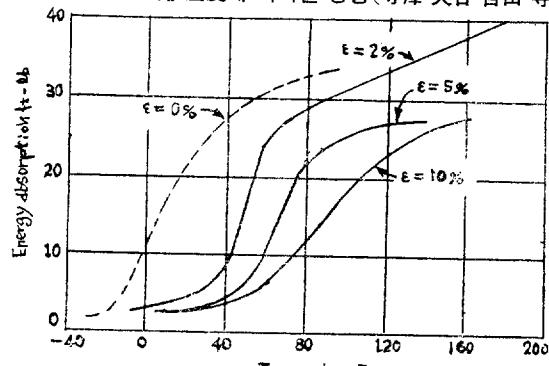


Fig. 14. 室溫에 있어 歪時效가 衝擊值에 미치는 影響

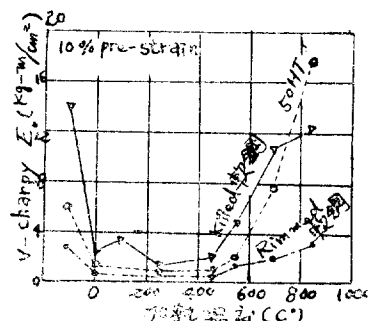


Fig. 15. 여려 温度에 있어 歪時效(1時間)가 衝擊值에 미치는 影響[23]

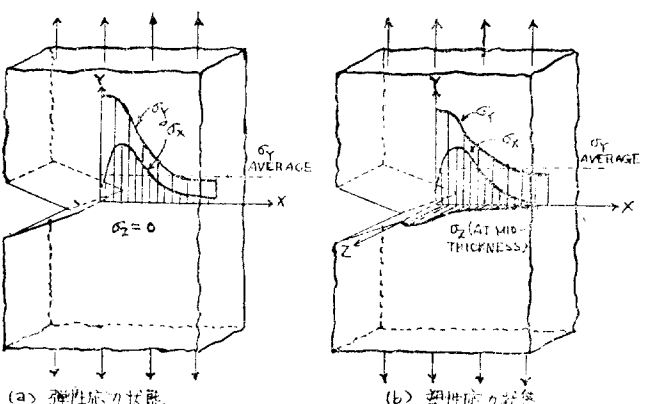
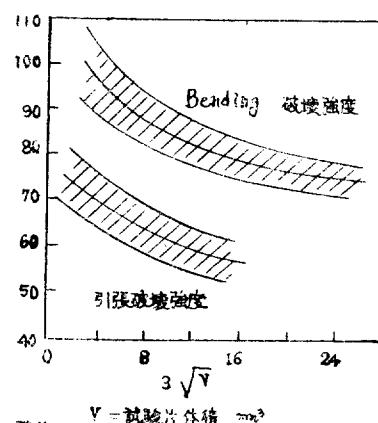


Fig. 16. 切缺部에 있어 3軸應力의 發生



切缺이 없는試驗片인 경우에 있어脆性破壞의 치수效果에對해서는試驗片이크면龜裂擴大에 따른energy解放率이增大하므로試驗片이크게될수록脆性龜裂의傳播가일어나기쉽다는點은切缺脆性破壞인경우에는成立한다. 치수效果는이와같이龜裂傳播에關해서뿐만아니라龜裂發生에對하여도影響을끼친다. 即切缺底部에塑性變形이일어나기始作하면Fig. 11에서의原理와같은機構로Fig. 16-b의 $\sigma_2$ 와같은應力이板두께方向으로생긴다.

i) 應力은板의表面에서는當然zero이고板두께中央에서最大로된다. 또이事實로부터상상되는것과같이이 $\sigma_2$ 의값은薄板에서는無視될수있는程度로작으나板두께가크게될수록큰값으로된다. 따라서應力의3軸性이increased하여脆化의경향으로된다.

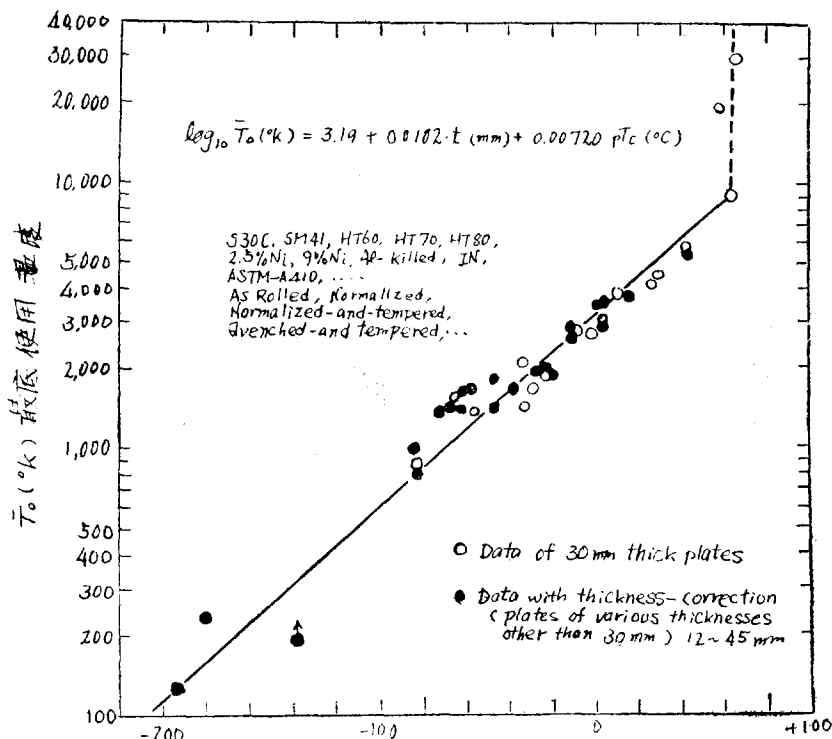


Fig. 17. 二重引張試験에 있어傳播停止特性( $T_0$ )과 ptc의關係(pivot를設定하여 整理)[24]

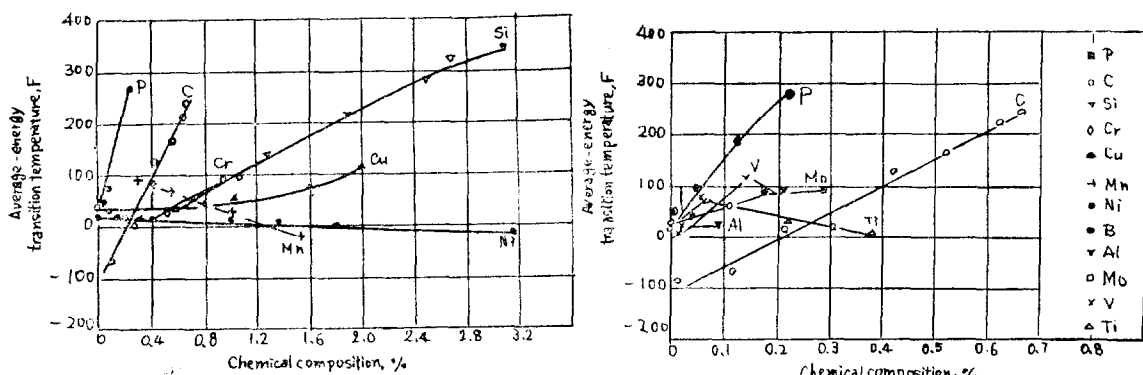


Fig. 18. 各種合金元素가遷移溫度에 미치는影響(Rinebolt & Harris)[25]

또 이와 같은 應力因子外에 板두께가 두껍게 되면 材質의으로 弱하게 되는 경향이 있다.

#### 6) 化學成分의 影響

化學成分이 鋼의 遷移溫度에 큰 影響을 줍은 명료하다. 各成分의 影響은 다른 成分의 存在에 依하여 影響하는 양식이 틀림은勿論이다.

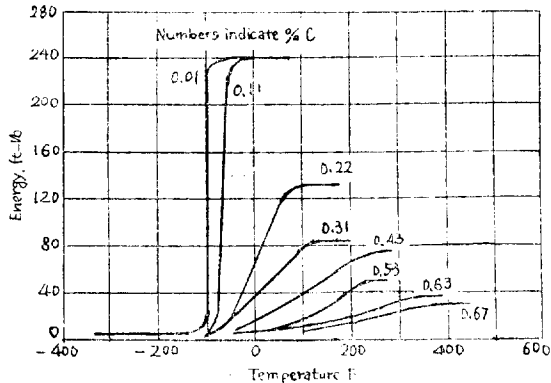


Fig. 19. 遷移曲線에 미치는 炭素의 影響  
(Rinebolt, Harris)

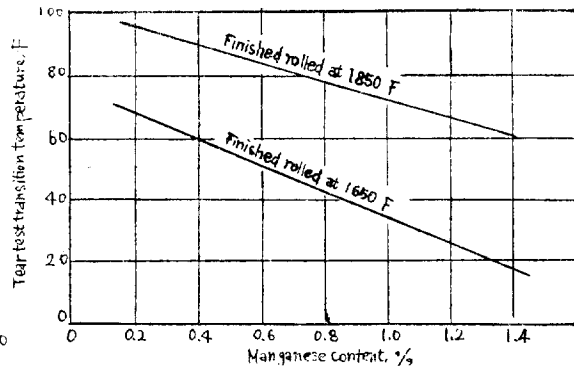


Fig. 20. Kahn 引裂試驗破面遷移溫度에 미치는 Mn의 影響 (Lorig)

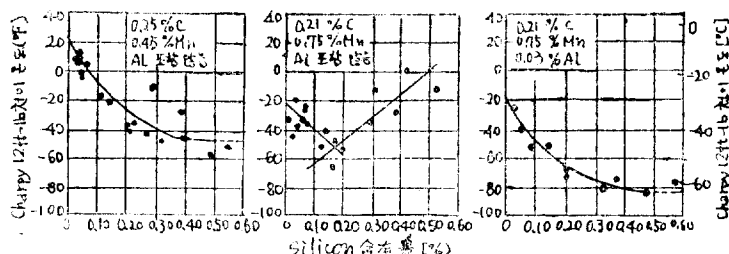


Fig. 21. Charpy 12 ft 遷移溫度에 미치는 Silicon의 影響 (Frondzier)

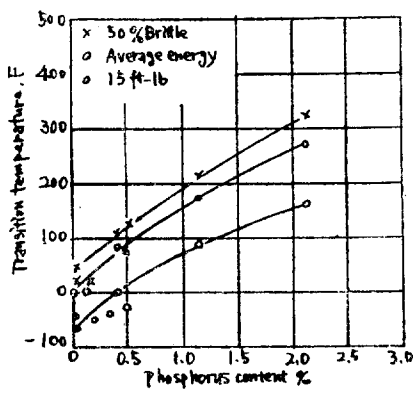


Fig. 22. 0.3% C 1.0% Mn 鋼에 미치는 P의 影響  
(Rinebolt and Harris)

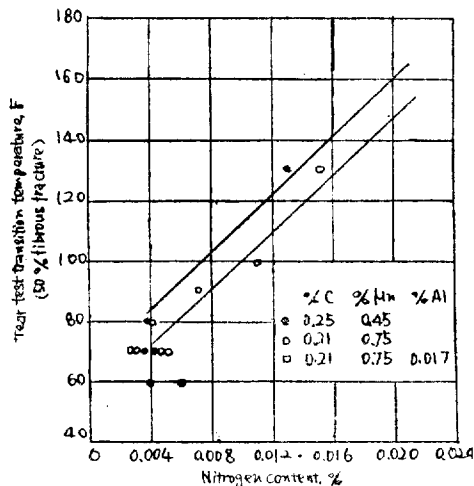


Fig. 23. 引裂試驗破面遷移溫度에 미치는 N의 影響 (Erziger, Boulger, Lorig)

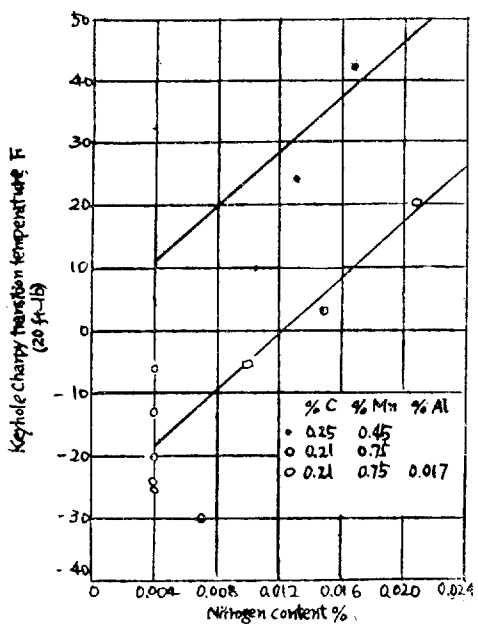


Fig. 24. Keyhole Charpy 遷移温度에 미치는 H의影響(Frizier, Boulger, Lorig)

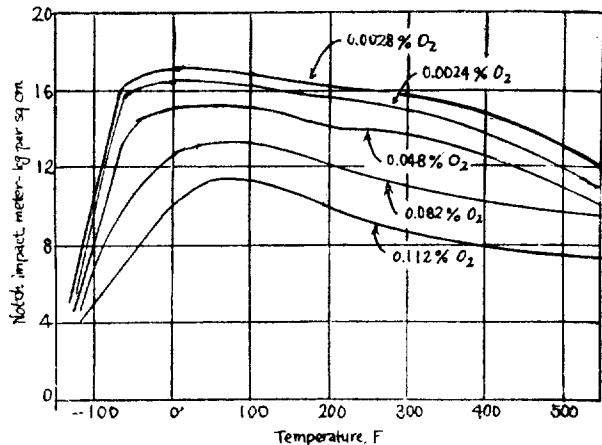


Fig. 25. 鐵의 衝擊強度에 미치는 酸素의 影響(Schmidt)[26]

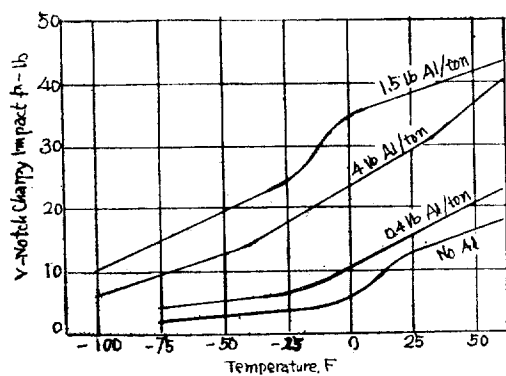


Fig. 26. V-notch-Charpy 遷移温度에 미치는 Al의 影響

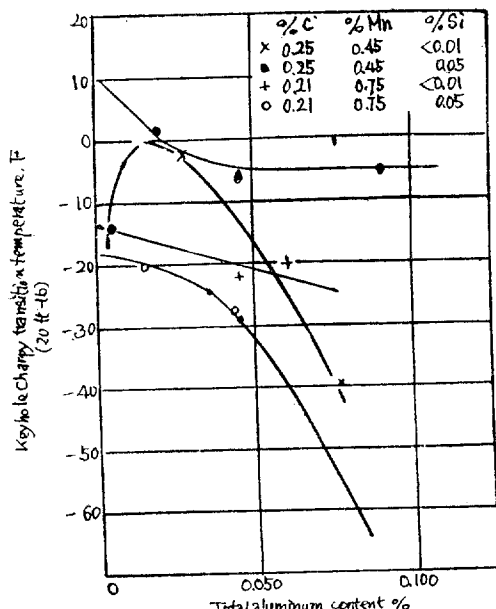


Fig. 27. Key hold Charpy 20 ft-lb 遷移温度에 미치는 Aluminum의 影響

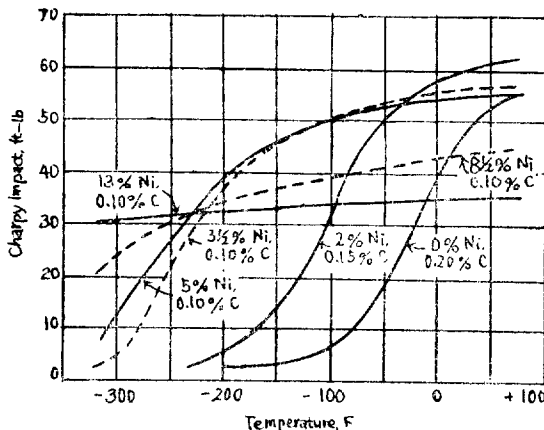


Fig. 28. Keyhole Charpy 遷移溫度에 미치는 Ni의 影響

## 7) 結晶粒度의 影響

ferrite 結晶粒度 亦是 鋼의 遷移溫度와 密接한 關係가 있으며 ferrite 粒의 차을수록 遷移溫度는 낮아진다.

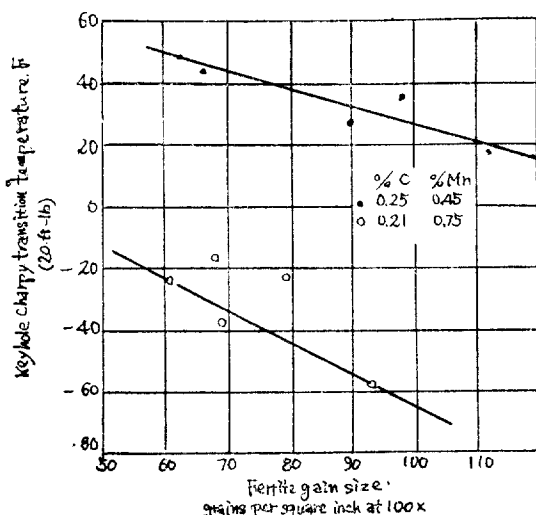


Fig. 29. Keyhole Charpy 遷移溫度에 미치는 Ferrite 粒度의 影響

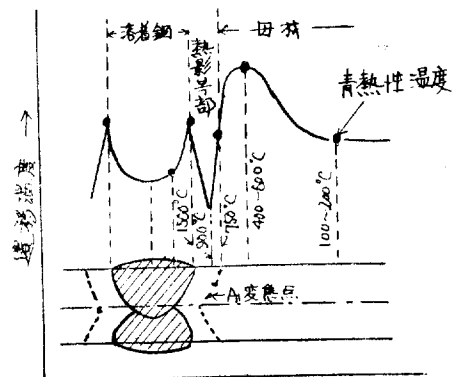


Fig. 30. 軟鋼熔着部의 熔着溫度의 分布

## 8) 焊接의 影響

a) 軟鋼인 경우 軟鋼熔接部의 遷移溫度 分布狀態는 Fig. 30에서 보는 바와 같이 軟鋼인 경우는一般的으로 熔接金屬의 遷移溫度는 母材보다 낮다. 이는 熔接金屬은一般的으로 母材보다 炭素含量이 작기 때문이다.

母材의 热影響部에 對해서는 Fig. 30과 같이 bond 部와 bond로부터 数 mm 멀어진 곳에서 200°C~300°C程度로 加熱된 곳에서 第一 脆化가 많이 되는 部分임이 알려져 있다. 이 脆化域은 完全히 母材側에 있으므로 普通 이 곳에서는 熔接缺陷 等이 없고 또한 脆性破壞가 이 곳에서 發生할 可能성이 없으므로 問題視되지 않는 경우가 많다. 한편 bond 部의 脆化를 막기 위해서는 冷却速度가 너무 빠르지 않겠음 熔接條件을 考慮해야 할뿐만 아니라豫熱(preheating)을 行하면 有効하다.

b) 高張力鋼인 경우 例를 들면 TH60 程度以上에서의 母材는 燒入, 處理에 依한 強度, 韌性(toughness)

共히 좋으나 熔着金屬인 경우는 熔着 그대로의 狀態이므로 母材와 同一한 程度의 強度, 韌性을 얻기에는 極히 困難하여 調質鋼인 경우一般的으로 熔着金屬의 toughness는 母材에 比하여 현저히 떨어짐이 普通이다.

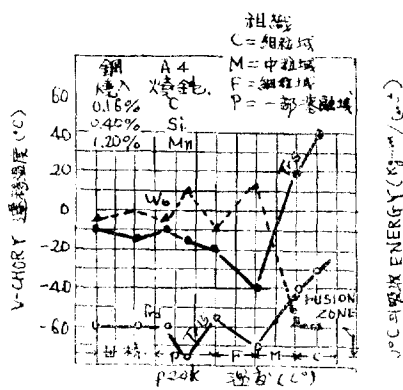


Fig. 31. 再現加熱影響部의 切次韌性에 미치는 最高加熱溫度의 影響 Mn-Si 鋼[27]

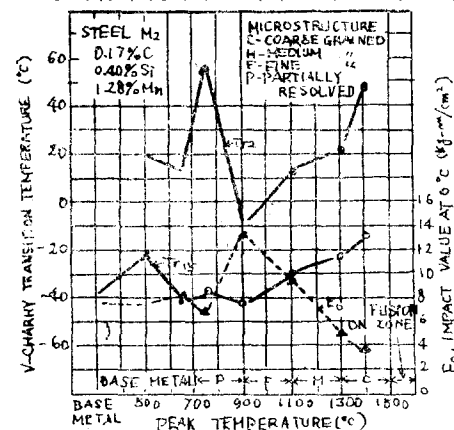


Fig. 32. 再現熱影響部의 切缺韌性에 미치는 最低加熱溫度의 影響 HT 60[28]

다음으로 热影響部에 있어서는 Fig. 31, 32, 33에 서와 같이 焊接熱再現裝置에 依하여 焊接部各部에서 받는 热影響을 再現시켜 만든 試驗片에 對하여 遷移溫度 및 衝擊值를 調査한 結果이다. 이 結果에 依하면 遷移溫度가 上昇하고 衝擊值가 減少하는 곳은 bond 部, 1400°C前後에서 加熱된 領域과 700°C~750°C程度로 加熱된 領域이고 AC<sub>1</sub>程度의 加熱에 依한 脆化는 HT 80인 경우 현저하다. 兩者中 特히 問題로 되는 것은 bond 部의 脆化이나 이 부분에 있어 toughness의 低下를 마음에는 여기서 例를 든바와 같이 低炭素高張力鋼인 때는 焊接時의 冷却速度를 올려줌이 有効함을 알 수 있다.

Fig. 34, 35, 36은 冷却速度를 變化시킨 경우의 遷移溫度 또는 衝擊值의 變化를 나타낸 것이다. 어떤 경우에서나 冷却速度를 올리는데 따라 遷移溫度는 낮아지고 衝擊值는 上昇하고 있다.

이와 같이 冷却速度를 올림으로 하여 切缺韌性을 (notch toughness) 높일 수 있는 것은 低炭素인 경우이고 其의 限界는 0.18%C程度이다 본다. 이 경우는 韌性이 땅은 低炭素 martensite가 되기 위해서 韌性이 向上되기 때문이며 보고 있다. 또 너무 冷却速度를 올리면 焊接 crack等의 問題를 수반하게 된다.

冷却速度를 크게 한다는 것은 實際問題로 焊接時의 入熱을 적게 하므로 일어지는 것으로 이는 調質鋼인 경우에 나타나는 速化域(Fig. 37)을 最少限으로 해서 멈추는 것이 有効하다.

Fig. 38, 39, 低溫用鋼인 경우의 data이다. Fig. 38에서 焊接境界部의 衝擊值는 세심 低下되고 있다. 이를 막기 위해서는 前述한 바와 같이 하고 焊接熱을 制限함이 어느程度 有効하다. Fig. 39는 热影響部의 衝擊值이고 이는 母材(base metal)와 거의 같은 程度의 値를 나타내고 있다.

### 9) 各種遷移溫度間의 關係

Fig. 40, 41는 여러가지 種類의 鋼材에 對하여 여러가지 試驗法으로서 求한 遷移溫度를 比較한 것이다. 이

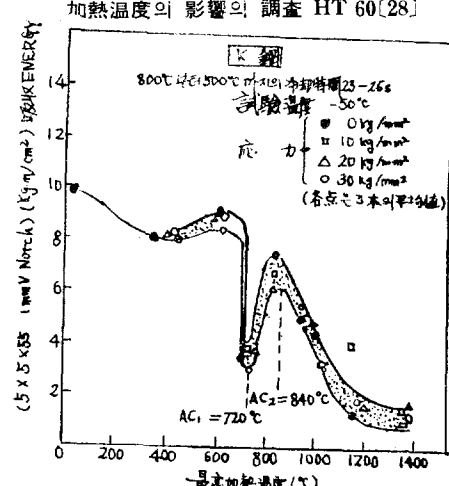


Fig. 33. 再現熱影響部가 切缺韌性에 미치는 最高加熱溫度의 影響 HT 80, 0.15% C[29]

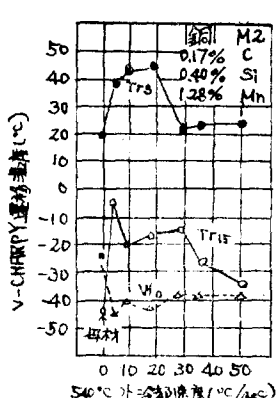


Fig. 34. 再現熱影響部가 切缺韌性에 미치는 冷却速度의 影響[27]

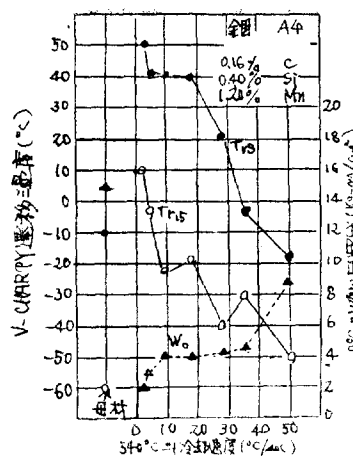


Fig. 35. 再現熱影響部가 切缺韌性에 미치는 冷却速度의 影響[27]

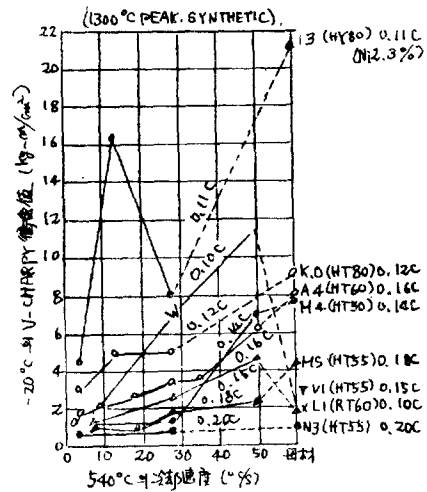


Fig. 36. 여러가지 高張力鋼이 熔接의 冷却速度에 미치는 影響值

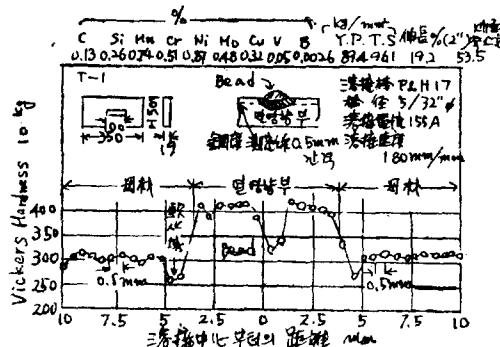
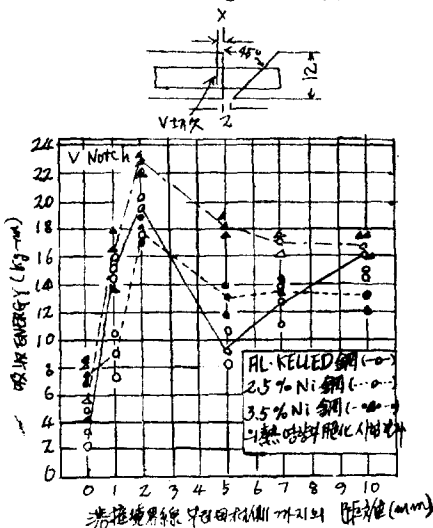
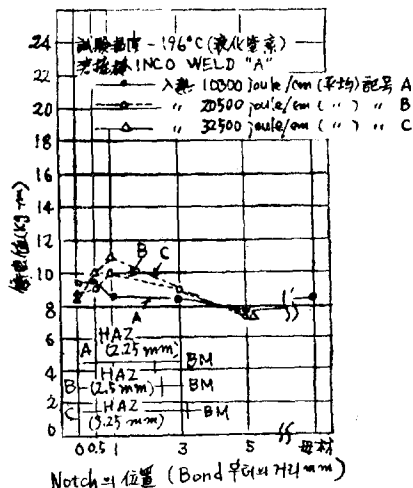


Fig. 37. 調質鋼(HT 80)熔接部의 硬度分布例

Fig. 38. Al. Kelled 鋼(—○—) 2.5% Ni 鋼(…○…)  
3.5% Ni 鋼(—●—)의 热影響과 脆化試驗  
結果Fig. 39. 9% Ni 鋼의 熔接接手 各部의 衝擊值와  
入熱의 關係

에 依하면 試驗法에 따라 鋼材의 評價順位가 틀림을 잘 나타내고 있다.

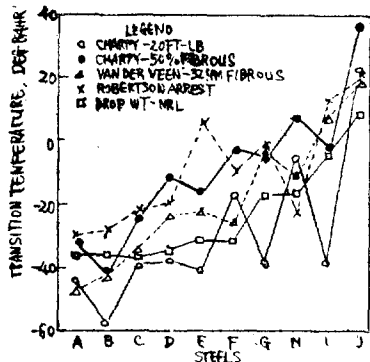


Fig. 40. 10種類의 鋼에 對한 種類의 4試驗法에 의 한 遷移溫度의 比較[32]

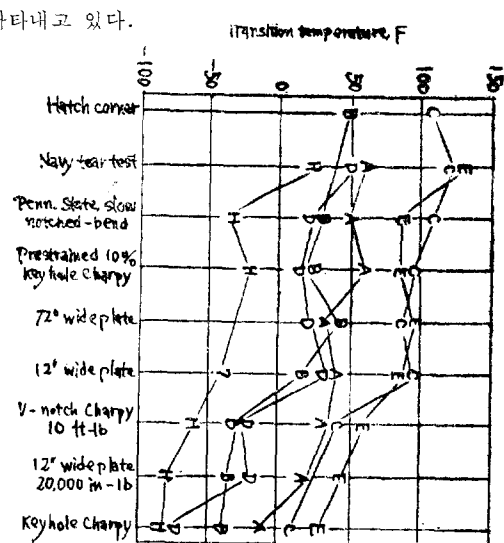


Fig. 41. 6種類의 鋼에 對한 여려種類의 遷移溫度 [33]

## 6. 熔接構造物에 있어 低荷重脆性破壞의 原因과 其對策

1) 熔接 bead 付廣幅引張試驗과 低應力脆性破壞發生試驗：前述한 바와 같이 普通軟鋼은 切缺이 없는 狀態에

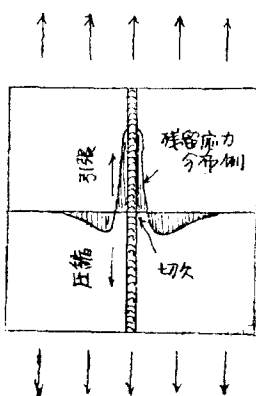


Fig. 42. Wells 가 사용한 試驗의 略圖(殘留應力 分佈의 値를 記入한 것)

서는  $-100^{\circ}\text{C} \sim -190^{\circ}\text{C}$  程度인 低溫이 아니면 脆性破壞가 일어나지 않는다. 그러나 萬一 여디 切缺이 存在하면 常溫에 가까운 溫度에서도 脆性破壞가 일어나게 된다.

그리고 一旦 發生한 龜裂은 열마간 낮은 應力狀態에서도 傳播하나 이를 發生시킴에는 높은 應力を 必要로 한다. 即 龜裂傳播試驗인 경우는 龜裂을 發生시키기 위해서 Robertson 試驗 및 ESSO 試驗에 있어서는 衝擊力을 주고 있으며 二重引張試驗에 있어서는 高應力인 龜裂發生部分을 設置하여 이에 依하여

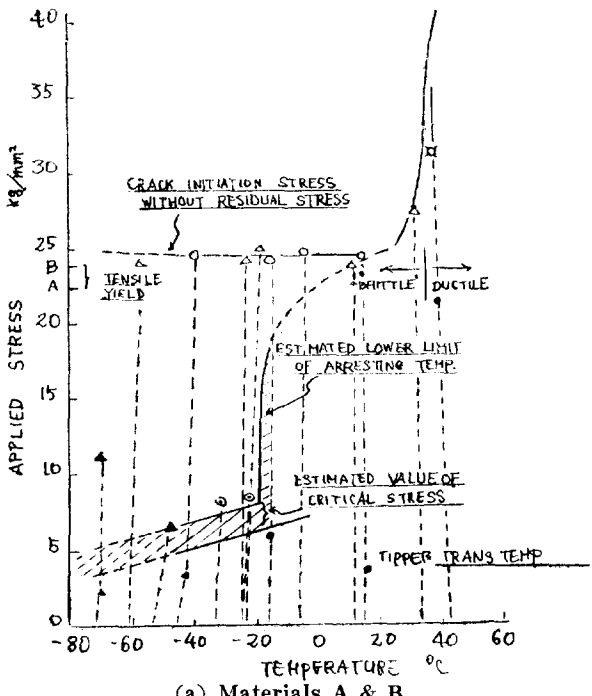


Fig. 43. 熔接 bead付 廣幅切缺試驗結果의 例[6]

發生한 龜裂을 試驗片本體에 傳播하겠끔 되어 있다.

그런데 實際構造物의 脆性破壞事故에 對해서 調查한 結果에 依하면 破壞發生에 영향을 줄만한 크기의 應力에 負荷된 形적이 없는 경우가 많으며 이와 같은 경우에는 무엇이 破壞의 發生原因이 되었나가 問題 된다.

其原因中 第一可能性이 많다고 생각되는 것 中의 하나가 殘留應力이다.

熔接影響을 살피기 위해서 Wells[5]는 Fig. 42와 같은 試驗片을 使用하여 引張試驗을 行하였다.

그래서  $15\text{kg/mm}^2$  程度의 低應力破壞를 實驗的으로 再現시키는 것을 처음 成功시켰다. 其後 Kihara[6] 等에 依하여 詳細한 實驗이 行하여졌다. 이를 紹介하면 Fig. 43과 같고 이 實驗에 依한 破壞에는 다음과 같은種類가 있음이 確認되었다.

a) 어떤 溫度以上에서는 延性破壞(記號 ○), 以下에서는 脆性破壞가 일어난다.(이때 延性으로부터 脆性으로 變하는 溫度는 Tipper 試驗에 依한 遷移溫度와 一致한다.) 이 溫度以下에서 일어나는 脆性破壞發生의 型은 다음 b) c) d)로 나누워 진다.

b) 低應力에 있어서 一段破壞(記號 ○ 및 ▲)이는 切缺部로부터 脆性破壞가 比較的 高應力(具體的으로 말하면 各鋼材에 依하여 定해지는 龜裂傳播開始限界應力 estimated value of critical stress로서 Fig. 43에서 斜線친應力보다 높은 應力)에서 發生한 때 일어난다.

只今 三角記號는 熔接直後, 熔接收縮應力 때문에 切缺部에 작은 龜裂이 생긴 경우(圓形記號) 이와 같은 龜裂이 생기지 않은 경우를 나타내었다.

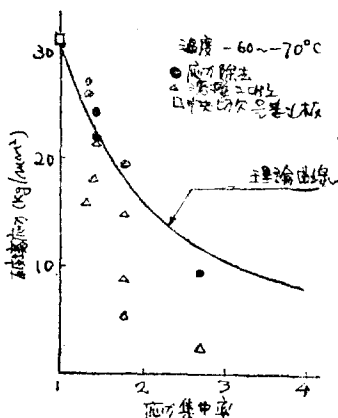


Fig. 44. 不連續構造試驗片에 依한  
結果例[7]

c) 上記限界應力보다 낮은 應力에서 龜裂이 發生하면 龜裂은 어떤 길이 만큼 進行하고 破斷까지 일어나지 않고 殘留應力은 解放되고 말므로 다시 荷重을 增加시켜 比較的 高荷重에 達하여 破斷된다. 記號 ...●...○... 또는 ...▲...△...로 나타내었다. ● 또는 ▲는 一段破壞, ○ 또는 △는 完全破斷을 表示 圓型과 三角의 記號 使用區分은 b)와 同一하다.

d) 高應力에서 破壞(低溫에 있어) 熔接殘留應力이 없을 경우는 Fig에서 서와 같이 高應力에서 破斷이 일어난다. 이와 같은 破壞는 前記 c)에서 말한 第一段階破壞가 限界應力以下에서 生긴 경우와, 熔接直後에 切缺에 依하여 熔接收縮應力에 依하여 crack이 生기고 이에 依하여 殘留應力이解放되어 버리는 경우도 있다. 이와 같이 하여 熔接殘留應力이 共存할 경우에는  $3\sim7\text{kg/mm}^2$  程度의 低應力에서도 crack이 發生하고 이것이 擴大되어 全體의인 破壞에 까지 이르는 경우가 있음이 實證되었다.

以上은 熔接殘留應力과 切缺과의 증첩作用에 依하여 低應力破壞가 發生하는 경우에 對하여 述하였으나 其後の 研究에 依하면 脆性破壞는 이와 같은 條件이 아니라도 일어남이 發表되었다.

Kihara 等은 構造上으로 不連續을 가지는 試驗에 對하여 實驗이 行하였다. 이 結果를 Fig 44에서 보는 바와 같다. 殘留應力を 완화시킨 경우(記號 ●)는 構造上 不連續과 切缺의 作用만으로도 低應力破壞를 일으킬 可能성이 있음을 나타내었다. 또 이에 殘留應力이 증첩할 경우(記號 △)는 数  $\text{kg/mm}^2$  程度의 極히 낮은 應力에서 破壞를 일으키고 있다.

## 2) 熔接構造物에 있어 脆性破壞防止의 概念[34]

以上 記述한 事實들로부터 熔接構造物의 脆性破壞特性은 Fig. 45와 같이 나타낼 수 있다. 即 PQ는 예리한 切

缺口 없는試驗片의 破壊應力으로서 普通引張破壊強度에 對應한다.

RS는 예리한 切缺은 있으나 殘留應力, 構造上不連續에 依한 應力集中等이 없는 경우의 破壊應力으로 普通鋼材에서는 降伏點程度의 크기이다. TU는 龜裂發生(傳播開始) 限界曲線으로 前記한 廣幅切缺試驗에서 얻는曲線 또는 平坦溫度型 二重引張試驗等에서 얻은 것도 이에 가깝다고 생각된다. 即 이曲線을 境界로 하여 左上의 狀態에서 試驗片을 試驗하면 ESSO試驗이나 二重引張으로서 龜裂發生부의 高應力, 또는 廣幅試驗片에서는 殘留應力+附加應力等에 依하여 crack를 試驗片에 導入해 주면 거의 crack가 傳播하여 試驗片이 破壞에 이르고 한편 이曲線의 右下에서는 上記와 같이 하여 龜裂을 만드려 쥐도 龜裂은 그以上擴大하지 않는 限界曲線을 나타내고 있다.

다음으로 曲線 VW는 Robertson試驗 및 溫度勾配를 갖는 二重引張試驗에 依하여 얻어지는 曲線으로 低溫部에서 傳播하여 온 龜裂이 차차 高溫部에 와서 이 溫度에 오면 停止함을 나타내고 있다.

또 構造物의 使用狀態에 있어서 應力 및 溫度狀態가 이들 曲線에 依하여 區分되는 各領域에 있을 때 어떻한 行動을 나타내는가를 생각해 보자.

먼저 曲線 VW로 부터 右側領域에 있을 때 이경우에는 어떤 事故로 因하여 破壞가 一部에 일어나드라도 龜裂은 擴大하지 않고 停止하여 버린다. TU와 VW 사이에서는 龜裂이 發生하는 일은 없으나 萬一豫想外의 應力 때문에 龜裂이 發生하면 擴大하여 破壊에 이르게 된다고 생각된다. TU左側인 경우는 切缺과 殘留應力構造上應力集中, 工作上의 原因等이 共存하기 때문에 crack가 發生하면 이 crack는 傳播하여 全體의 破壊에 이르는 事故를 일으키게 된다. 即 이領域에서는 特히 切缺, 熔接殘留應力, 工作上の 缺陷等을 重要視하지 않으면 안된다. 以上과 같은 考察로부터 熔接構造物의 脆性破壊防止上에는 다음과 같은 點이 重要하다는事實을 알게 되었다. 即

- i) 脆性龜裂의 發生源으로 되는 熔接缺陷等에 依한 切缺을 만들지 말것.
- ii) 낮은 外的附加應力도 切缺로 因한 脆性破壊를 發生하는데 큰 役割을 하며 熔接殘留應力, 構造上의 不連續等을 可及的 적게 할것.
- iii) Fig 45에서 TU, VW等의 曲線이 可及의 低溫쪽에 있는 鋼材를 使用할 것과 曲線 VW가 構造物의 使用溫度보다 低溫쪽에 있으면 熔接缺陷等에 依한 切缺, 殘留應力, 構造上의 不連續等이 있어도 脆性龜裂은 發生치 않고 또 어떤 事故等에 依한 crack가 한 部分에 일어나도 傳播하지 않고 停止한다.

그런데 上記 i) ii)를 完全히 實行함은 實際問題로 困難하여 豫期치 않는 곳에 熔接缺陷等이 있을 可能성이 있으며 또 熔接構造物等에 있어서 熔接殘留應力を 完全히 除去할려면 大端히 困難하므로 實際로는 存在한다고 生覺함이 安全하다. 따라서 結局 iii)의 경우를 實用化시킴이 容易하다고 生覺된다.

이와 같은 理由에서 鋼材의 脆性破壊特性을 停止曲線(VW)와 發生曲線(TU)等에서 判斷되는 것이合理的이라 生覺되나 이들 曲線을 定함에는 應力切缺熔接試驗片, 二重引張試驗片, ESSO試驗, Robertson試驗等과 같이 높은 費用, 特殊한 設備等을 要하므로 工業的 試驗法으로서는 不便하다. 그래서 이들 龜裂傳播試驗에 依한 遷移溫度는 V型試驗片에 依한 結果로 부터 推定함이 實用의이다.

press notch charpy에 依한 遷移溫度가 相關關係를 가짐이 알려져 있으며 이關係를 Fig. 46에 나타내었다.

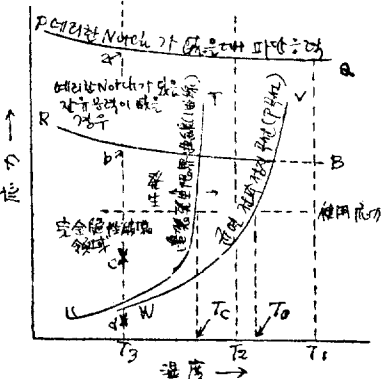


Fig. 45. 熔接構造物의 破壊強度의 概念圖[34]

press notck charpy 는 아직 一般化되지 않아 V-notck charpy 值를 使用할 경우는 Fig. 47의 關係에서 V-notch charpy 의 값으로부터 press notck charpy 值를 推定할 수 있다.

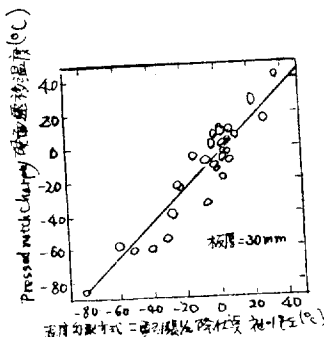


Fig. 46.

二重引張試驗

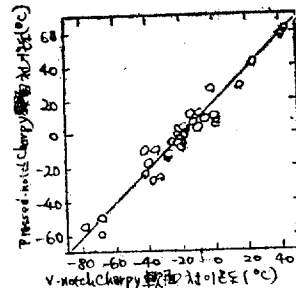


Fig. 47.

## 7. 熔接構造物의 脆性破壞事故例[35]

II W 報告中에서 事故例를 引用하여 紹介하면

Fig. 48. 1957年 建造 7000 DWT refrigerator ship 1958年 入渠中 冷凍室의 deck 에서 큰 crack 發生 이때  
冷凍液  $-30^{\circ}\text{C}$

- 要因 a) 冷凍 pipe 絶緣不良  
b) doubler 이 手動 gas 切斷으로 모서리에 예리한 角을 이룸  
c) deck 上에 廣範圍한 热應力이 生기고 있었다.  
d) 鋼板의 遷移溫度(V-charpy)가  $-20^{\circ}\text{C}$  이었고  $-25^{\circ}\text{C}$  에서 脆性破壞

Fig. 49; Oil Tanker 의 Upper Deck

1952年 建造 12000 GT Tanker

1960年 12月 中央部上甲板에 큰 crack 發生

發生位置은 float gauge opening

low cycle fatigue

- 要因 a) opening 方向이 縱으로 되었어야 함  
b) opening, gas 切斷한 후 finishing(仕上)치 않았음  
c) 局部荷重에 依한 高應力때문에 塑性疲勞 crack 發生

Fig. 50; oil tanker stringer plate

1945年 建造 15400 DWT Tanker

1959年 2月 爆音과 더불어 破壞

- 要因 a) 橫隔壁 때문에 deck girder 斷切  
b) 荷重에 依한 高應力

Fig. 51; oil tanker 的 bilge strake

1947年 建造 18500 DWT tanker

1956年 16790 t의 oil 를 신고 航海中

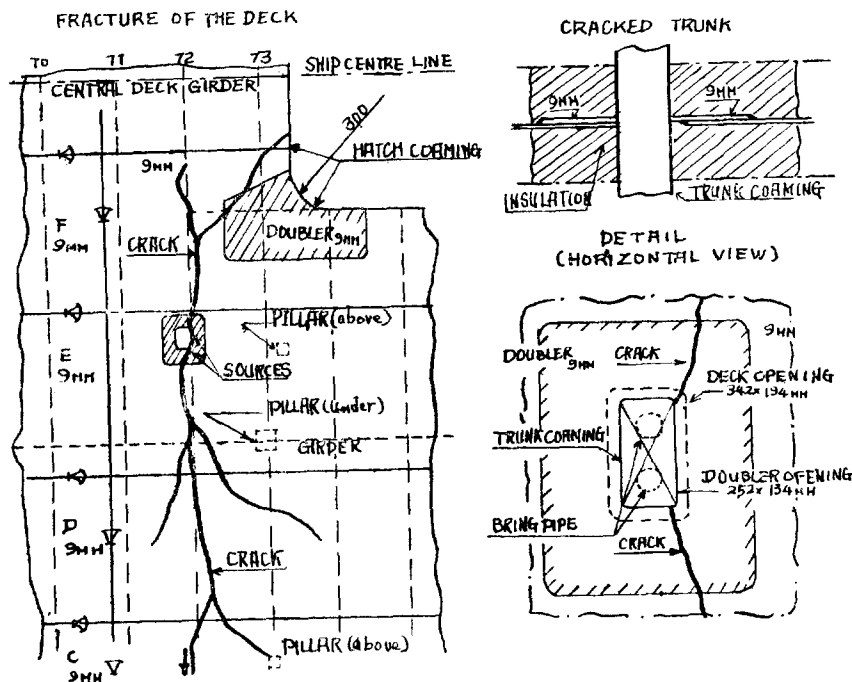


Fig. 48. Refrigerator ship

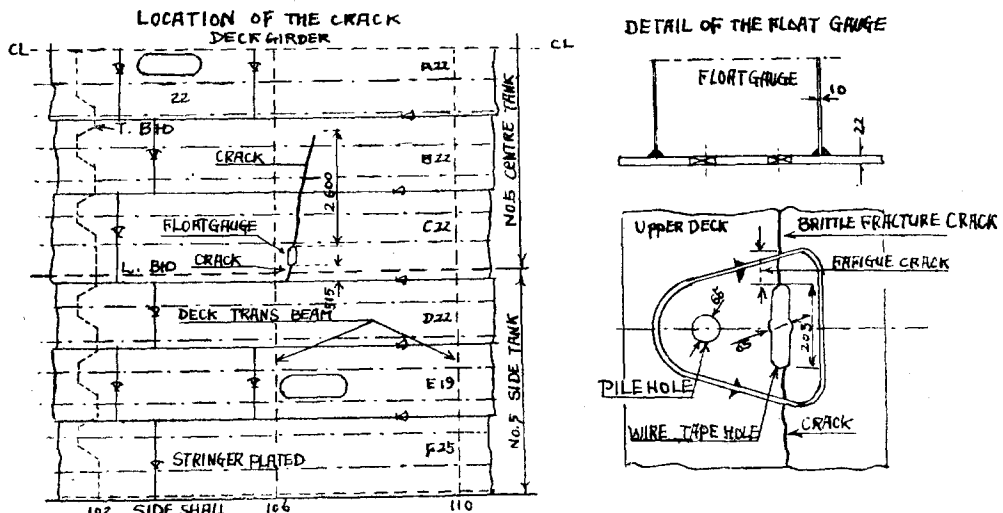


Fig. 49. Oil tanker의 upper deck

- 要因 a) bilge strake에 따른 sagging應力  
 b) fatigue crack 或은 low cycle fatigue crack의 發生  
 c) 鋼材品質이 나쁘다.

Fig. 52; oil tanker의 船底外板

1945建造 16400 DWT tanker 載荷航海中 (海水 7°C 外氣 6°C)

- 要因 a) butt weld의 焊接缺陷 疲勞와 關係

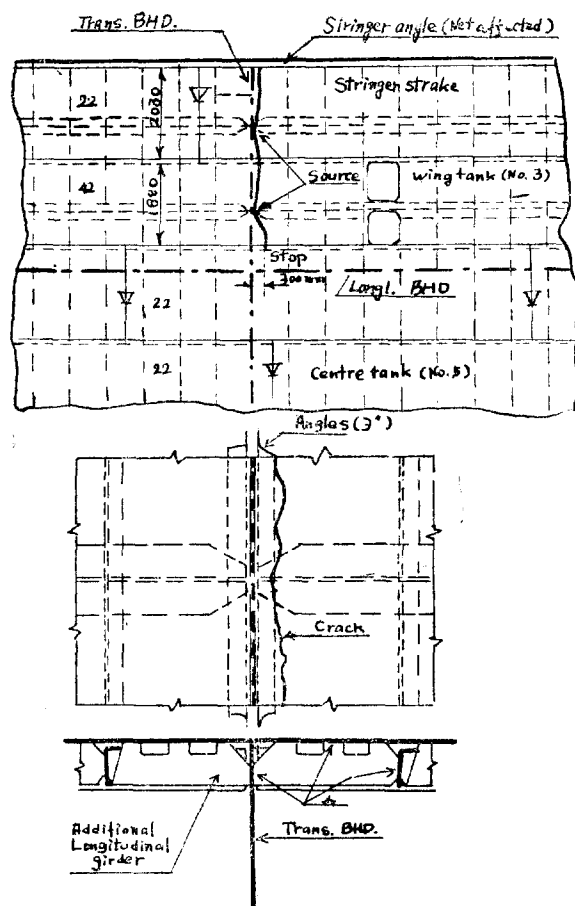


Fig. 50. Oil tanker の stringer plate

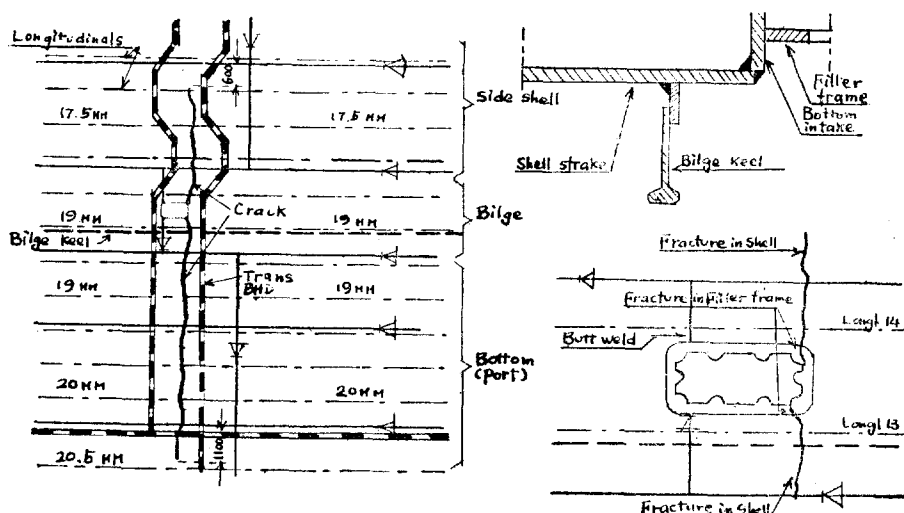


Fig. 51. Oil tanker の bilge strake

b) 높은 外力

Fig. 53; cargo ship의 shelter deck

1949年 建造, 8400 DWT cargo, 北大西洋에서 荒天時 航行中 爆音과 더불어 2個의 crack이 deck에 發生  
破壞는 fillet welding 한 곳에서 發生

要因 a) 높은 應力

b) 構造上 應力集中 및 焊接殘留應力

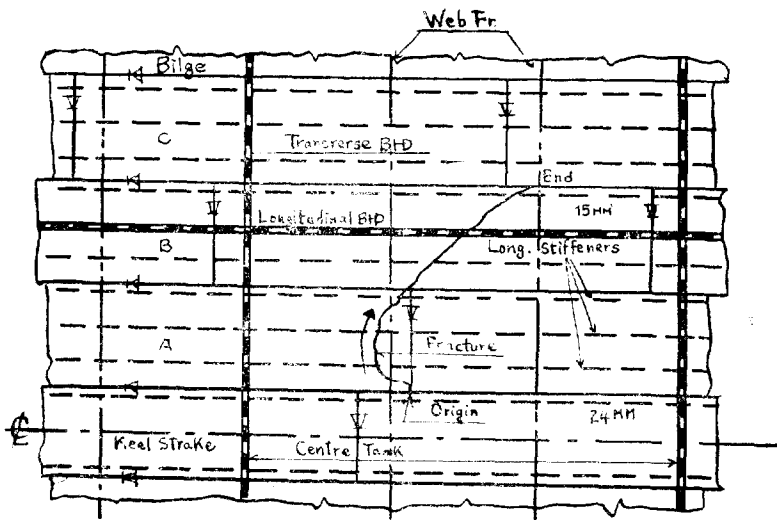


Fig. 52. Oil tanker의 船底外板

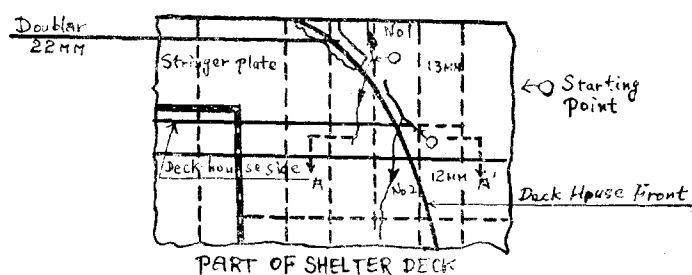
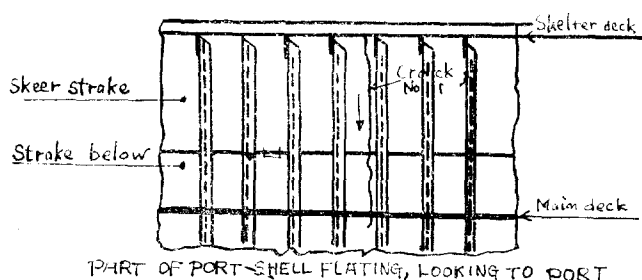


Fig. 53. Cargo ship의 shelter deck

Fig. 54; shelter deck의 stringer 와 sheer strake

1953年에 建造 6400 DWT cargo ship

1959年 2月 荒天中에 생긴 bulwark 와 sheer strake 의 焊接部에 發生點

要因 a) 排水孔前端에 切缺效果

b) 角에 焊接部 Crater

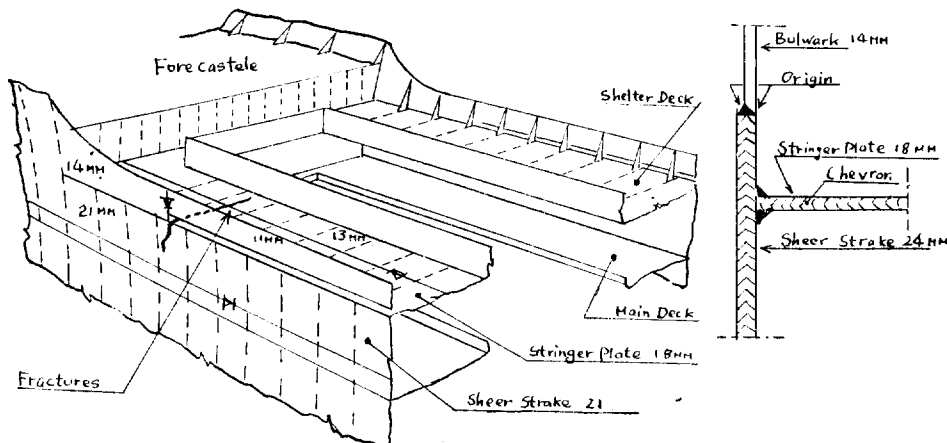


Fig. 54. Shelter decker 의 stringer 와 sheer strake

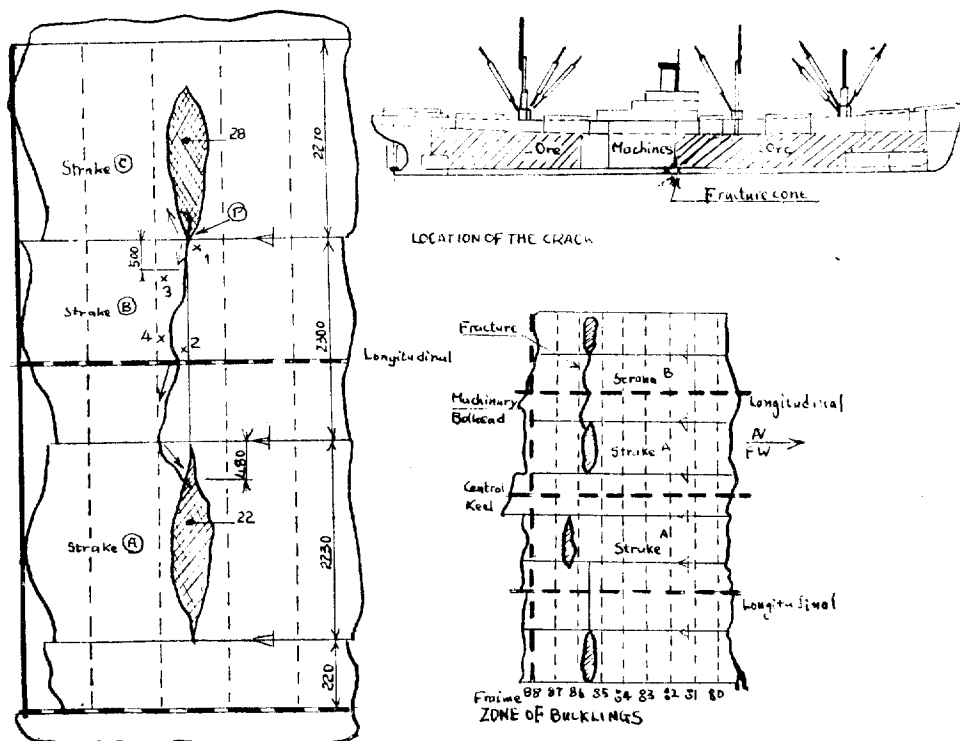


Fig. 55. Liberty ship의 船底

Fig. 55; Liberty ship의 船底

1945年 建造한 Liberty 船 (10,700 DWT) 1961年 2月 荷物를 滿載 荒天航海中 (水溫 15°C) 船底에 crack 發生

要因 a) 船底 外板의 局部座屈로 인하여  $I$ 가 減少

b) 荒天

c) 凹損部의 壓縮歪時效

Fig. 56; oil storage tank

1939年에 建造, 12,500m<sup>3</sup>의 原油貯藏 Tank 17년만에 破壞, oil 은 滿載, 氣溫 -23°C oil, 8°C

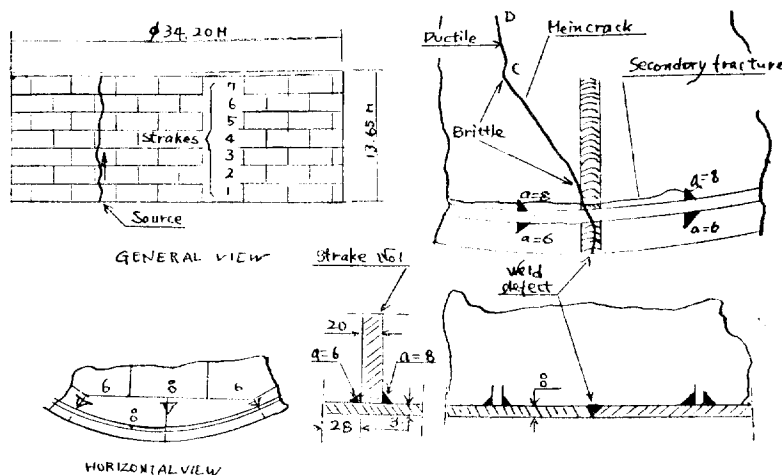


Fig. 56. Oil storage tank

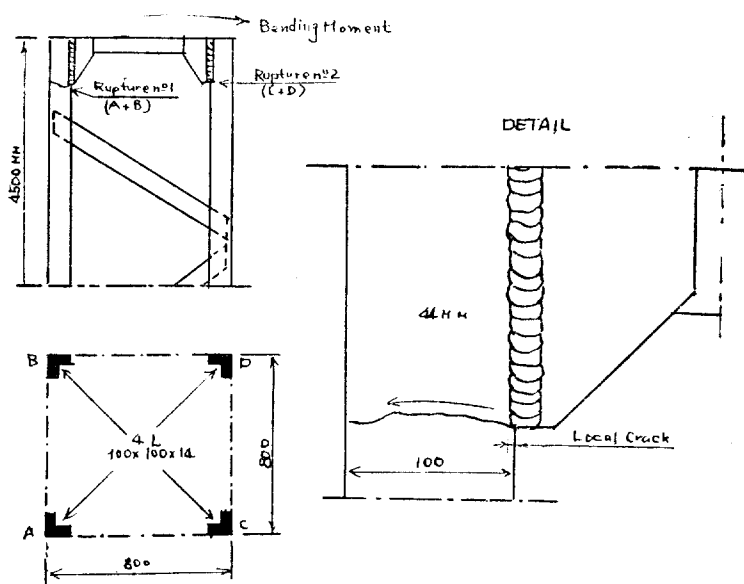


Fig. 57. Building crane

要因 a) 重大한 熔接缺陷

b) 荷重應力과 熱應力의 重疊

Fig. 57; building crane

설명 22m 의 crane 支柱本의 山形材( $100 \times 100 \times 14$ ) 設計上 bending moment 25,000 kg·m.

要因 a) 設計上應力集中 (熔接端部에 仕上치 않았음)

b) 設計應力を 넘는 大荷重

c) 鋼材의 notch toughness 不足 (V-charpy 35 kgm/cm<sup>2</sup>, 遷移溫度 45°C)

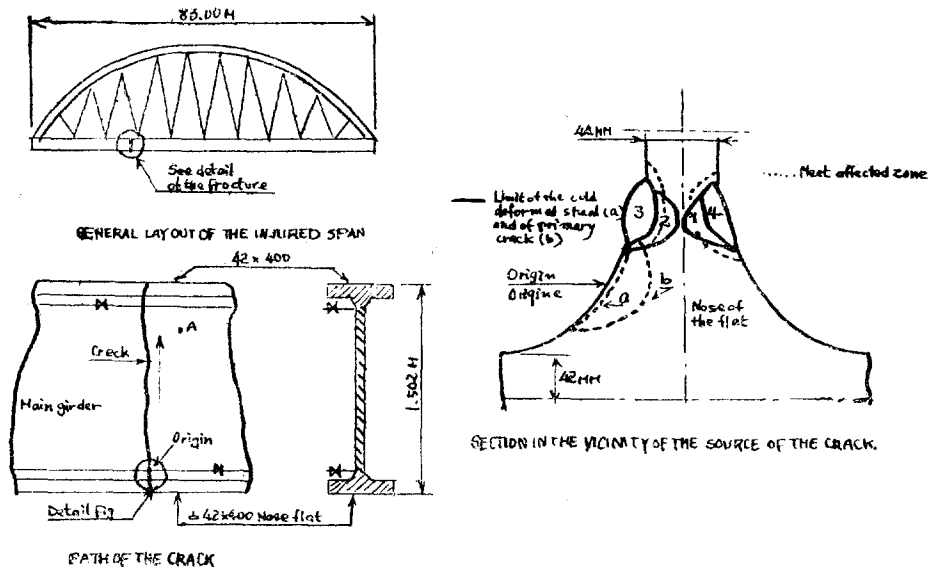


Fig. 58. Span bridge of main girder

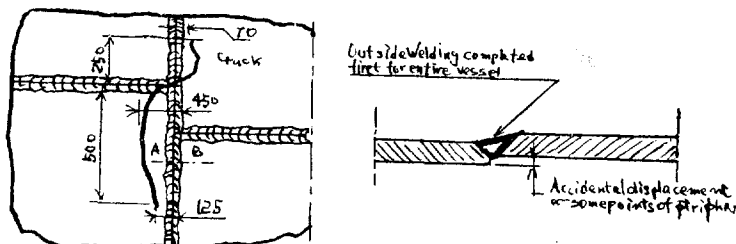
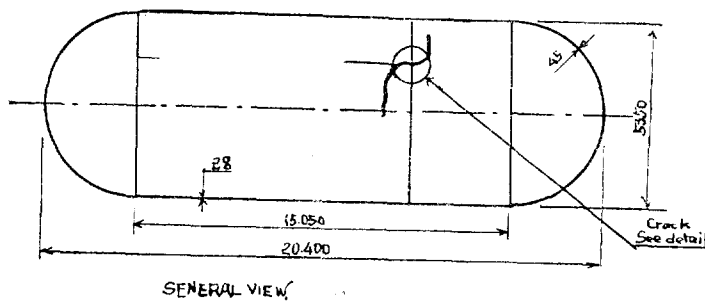


Fig. 59. Gas holder

## 8. 結 言

以上 脆性破壊中 特히 構造用材料로서 使用되고 있는 鋼材의 切缺脆性 또는 低荷重破壊라 불리지는種類의 破壊에 對하여 全般的으로 概觀하겠지만 마음 썼으나 結果가 아직 不充分하고 特히 破壊機構에 關한 微視的 轉位論의 研究에 對하여는 極히 簡單히 述하였다. 機會가 있는데로 脆性破壊의 理論과 더불어 이들에 對하여 論及할 機會를 마련코자 하는 바이다.

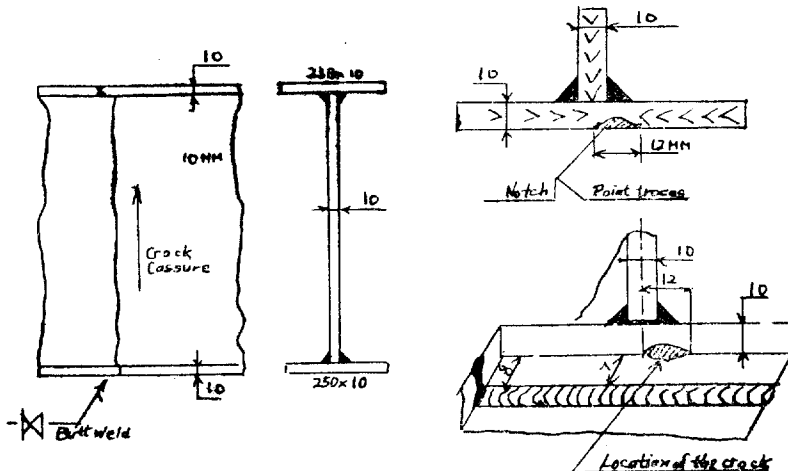


Fig. 60. Girder flange

## 參 考 文 獻

- [1] A. Boedberg, H. E. Davis, E. R. Parker and G. E. Troxell; Causes of Cleavage Fracture in ship plate Test of Wide Notched plates, *Weld J.*, April 1948, 186, S.
- [2] T. S. Robertson; Propagation of Brittle Fracture in Steel, *J. Iron and Inst.*, 175, Dec. 1953, 361
- [3] F. J. Feely, D. Hrtko, S. R. Kleppe and M. S. Northing; Report on Brittle Fracture Studies, *Weld. J.*, Feb. 1954 995
- [4] M. Yoshik, T. Konozawa; A New Testing Method to Obtain Critical stress and Limiting Temperature for the propagation of Brittle crack: Proc. 1st Japan Congress Test. Mat. 1958
- [5] A. A. Wells, The Brittle Fracture Strength of Welded steel plates, *Quarterly TINA*, July 1956, 296
- [6] H. Kihara, K. Masubuchi: Effect of Residual Stress on Brittle Fracture, *Weld.J.* April 1959, 159, S
- [7] 木原, 飯田國廣, 成田國郎, 構造上 不連續性に依る應力集中が脆性破壊の發生に及ぼす影響, 日造協論 112號, 16S
- [8] 秋田好雄, 前田豊生, 矢田敏夫, 熔接構造物に發生する脆性破壊の研究(第2報) 日造協論 118號, 171
- [9] E. R. Parker: *Brittle Behavior of Engineering Structures*, Wiley (1957) 68
- [10] W. A. Backofen: *Metallurgical Aspects of Ductile Fracture in Fracture of Engineering Materials* ASM (1964) 107
- [11] Board of Investigation: Final Report to the Design and Method of Construction of Welded steel Merchant Vessels *Weld. J.* July 1947
- [12] G. T. Hahn, W. S. Owen, B. L. Averbach, M. Choben; Micromechanism of Brittle Fracture, *Weld J.*, Sep. 1959, 367

- [13] G.T. Hahn, B.L. Averbach, W.S. Owen M.Cohen, *Initiation of Cleavage Microcracks in Polycrystalline Iron and steel, in Fracture*, John Wiley & Sons (1959)
- [14] T.Yokobori, A. Otsuka: *Brittle Fracture in Low Carbon steel under Tensile and Torsion Test, in Experimental Mechanics*, ed. by Rossi, Pergaman Press (1963)
- [15] N.J. Petch, The Ductile Fracture of Polycrystalline Iron, *Phil. May 8, (1956) 186*
- [16] J.R. Low, The Relation of Microstructure to Brittle Fracture, in Relation of properties to Microstructure, *ASM (1954) 163*
- [17] A.A. Griffith, *The Phenomena of Rupture and Flow in Solids*, Phil. Trans. Roy Soc. 221A (1920) 163
- [18] E. Orowan: *Fundamentals of Brittle Behaviour in Metals, in Fatigue and Fracture of Metals*, John Wiley & Sons (1952)
- [19] 越賀房夫, 脆性試験法について(1) 焊接學會誌, 32, 162
- [20] 金澤武, 大塚昭夫, 軟鋼の脆性破壊について(第3報) 日造協論 94號 159
- [21] 寺澤一雄, 大谷碧, 吉田俊夫, 寺井, 高溫市歪が鋼切缺韌性におよぼす影響 日造協論 109號, 317
- [22] 12 呈 依替
- [23] 大谷碧, 鈴木春義 外4 焊接冶金學, 日刊號新聞社(昭38)
- [24] 日造協, 脆性破壊と疲労に關するシンポジウム 昭 41年 9月
- [25] J.A. Rinebolt & W.J. Harris, *Effect of Alloying Elements on Notch Toughness of pearlitic steels* Trans. ASM 43 (1951)
- [26]
- [27] H.Tamura 運研英文報告 No. 50 高張力鋼ならびに 低溫用鋼焊接熱影響部の 切缺韌性, 日焊接學會誌 35 (1666) 710呈 依替.
- [28] 鈴木春義, 田村博, 調質鋼の再現熱影響部組織の切缺じん性と機械的性質, 日焊接學會誌 29 (1960) 21
- [29] 西茂, 鈴木和久, 下山仁二, 高張力鋼焊接熱影響部の脆化に關する研究 三菱重工技報 1 (1964) 1
- [30] 野村純一, 宮野樺太男, 進藤方弦, 低溫用鋼板について 日本製鋼技報 7號 (1961) 695
- [31] L.F. Coffin: *The Flow and Fracture of a Brittle Material*, J.Appl. Mech. 17. Sop. 1950 233
- [32] M.Gensamer, *Brittle Fracture of Metals in Fracture of Engineering Maturials* ASM (1964)
- [33] M.Gensamer, *General Survey of the Problem of Fatigue and Fracture in Fatigue and Fracture of Metals* John Wiley & Sons (1952)
- [34] 木原博, 脆性破壊の實用的諸問題Ⅱ 金屬材料 強度と破壊, 日本金屬學會強度委員會編 (1964)
- [35] 脆性破壊と疲労に關するシンポジウム 日造協 昭 41. 9月